



ISSN 0250-3301 CODEN HCKHDV HUANJING KEXUE

中国主要城市土壤重金属累积特征与风险评价彭驰,何亚磊,郭朝晖,肖细元,张严



- 主办 中国科学院生态环境研究中心
- ■出版 斜 孝 出 版 社





2022年1月

第43卷 第1期 Vol.43 No.1

## ENVIRONMENTAL SCIENCE

第43卷 第1期 2022年1月15日

## 目 次

中国主要城市土壤重金属累积特征与风险评价	· 彭驰, 何亚磊, 郭朝晖, 肖细元, 张严( 1 )
植物生长调节剂在土壤中的环境行为综述	· 陈亮, 侯杰, 胡晓蕾, 张纪兆, 王浩达 ( 11 )
基于铁泥的磁性水处理材料制备及应用进展	·············· 曾辉平、翟龙雪、李冬、张杰 (26)
中国主要城市土壤重金属累积特征与风险评价·····植物生长调节剂在土壤中的环境行为综述···基于铁泥的磁性水处理材料制备及应用进展 不同臭氧度量指标对我国人群总死亡影响的 Meta 分析 北京市海坨山冬季不同污染过程下气溶胶化学组分及其潜在来源分析	阮芳芳, 刘纪新, 陈芷薇, 曾贤刚(37)
北京市海坨山冬季不同污染过程下气溶胶化学组分及其潜在来源分析	
赵德龙,王飞,刘丹彤,田平,盛久江,周嵬,肖伟	杜沅谌 占倒 茜橪字 何晖 丁德平(46)
是心况,工气,对开放,由于,强人在,内观,自卫 会现名禾士与 DM 小时公验家语言群识别及满在影响储公标	好 7 小水 知的 剪形 陆结 叔上化 (61)
武汉冬季大气 $PM_{2,5}$ 小时分辨率源贡献识别及潜在影响域分析 将书运城市 $PM_{2,5}$ 时空分布特征和潜在源区季节分析 王妘涛,张强,温肖宇,中国东部冷锋推进中的 $PM_{2,5}$ 三维结构变化特征 9港澳大湾区大气中硝基多环芳烃污染特征与风险评估 李彦希,谢丹平	烘,几少飞,邓庄,自则,你佣,仰工干(OI) 密卫却 以宁拉 四加上 防土 雕和咖(74)
	卖刀超,赵义婷,多淑贝,陈志,崔桂凯(74)
中国东部冷锋推进中的 PM <sub>2.5</sub> 三维结构变化特征 ·······	······ 牟南南, 朱彬, 卢文( 85 )
粤港澳大湾区大气中硝基多环芳烃污染特征与风险评估 李彦希,谢丹平	,黎玉清,金梦,丁紫荣,闫雅楠,赵波( 93 )
曲 南州 $\zeta$ 大州 $\xi$ 全工 $\psi$ $\zeta$ 知 自 力 $\zeta$ 铺 大 写 $V$ $O$ $C$ 。 法 选 程 通 对 总 建 在 $\zeta$	
拉萨市挥发性有机物的组成特征、季节变化和来源解析     李陵,张丹,胡伟,徐芹,吴虹拉萨市挥发性有机物的组成特征、季节变化和来源解析	. 袁睿、蒲茜、郝宇杭、唐志欣、赖明敏(102)
拉萨市挥发性有机物的组成特征。季节变化和来源解析 余家燕	韩燕 陈木兰 张惠芳 陈阳 刘建国(113)
杭州 COVID 10 期间十号 VOC。休和分粉亦化特征 林相 严仁境	全直往 许凯川 何曦 叶辉 何纪亚 (123)
上海岭湖直禾十年 VOC。 在自每上岭山的佐田	, 亚加庄, 何况儿, 怀威, 下午, 怀七十(125) 
上呼吸邓友子人(YUUS 任英邦生成下的作用 出出主机及五十年 VOC 特尔及其 O 和 COA 形式进机八托	本业化 吸水水 习知知 古佛 亚阿斯阳(140)
铜川巾杈冬季大气 VOCs 特征及其 O <sub>3</sub> 和 SOA 形成溶势分析	学尤罕, 路珍珍, 孙智钢, 尚健, 邓顺熙(140)
电于垃圾拆解回收 VOCs 排放特值与排放因于 谢丹平, 寅忠	旌, 刘旺, 敖鹏, 黄钟坤, 贺辉, 陈晓燕 (150)
不同传输通道卜珠江三角洲臭氧与前体物非线性响应关系 伍永康,陈伟华,	颜丰华, 毛敬英, 袁斌, 王伟文, 王雪梅(160)
淄博市城郊臭氧污染特征及影响因素分析 王雨	燕,杨文,王秀艳,王帅,白瑾丰,程颖(170)
昭通市周边扬尘重金属污染特征及健康风险 庞晓晨, 韩新宇	, 史建武, 包字斋, 宁平, 张朝能, 向峰(180)
城市路面积尘微朔料污染特征	方芹 牛司平 陈予东 干汇华(189)
楼里木河流域左至10kg 10kg 10kg 10kg 10kg 10kg 10kg 10kg	宋洋 王 不木 张明军 石玉在 (100)
有主不行机线小体管中不能是自己求行工工力。	何思 几即 相爾 工辞 女件 始恭 ( 210 )
少小何侃哄小评讥生杀行架付证及风险厅训 ········ 天八寸,字江,彻友江,字》症,陈构工心河流战地主北地工业的北位兴味红耳较知国主	,门烛,与肌,明段,工風,又任,钾雄(210)
无定河流域地表水地下水的水化学特征及控制因素 白洋淀府河影响区沉积物营养盐和重金属污染特征及风险评价 ·	············ 学节签,颗睨,土义阵,学态(220)
日洋淀材河影响区沉积物营养盐和重金属污染特征及风险评价 陈兴宏,李	立青,张美一,张伟车,土东升,土洪杰(230)
九龙江口红树林湿地表层沉积物中微塑料赋存特征与重金属的关系 刘倡君,	罗专溪,闫钰,林惠荣,胡恭任,于瑞莲(239)
北京市北运河水系底栖动物群落与水环境驱动因子的关系及水生态健康评价	胡小红, 左德鹏, 刘波, 黄振芳, 徐宗学 (247)
城市河道再生水特征水质因子空间变异机制分析	刘全忠,彭柯,苏振华,邸琰茗,郭逍宇(256)
苏州景观河道表层沉积物间隙水-上覆水中 DOM 特性分析······	······· 李超男 何杰 朱学惠 李学艳 ( 267 )
<b>基州城区雨水筦道沼和物曲刑污热物分布特征</b>	斗炭 成故军 美永波 武宝
<u> </u>	一谷,置诏十,女小伙,以下生,只八只(211)
信与分寸强化以往往换佛有针头钟制机偿初中级须样以 二柱表序图度34大法表件时纪末。1977年度又丢点八大的影响。	* 体重二,叶丹,字形氏,国貅,刈风梅(205)
一唑水库调度对立治水体时续玄。利体管因于亚国分布的影响 … 用脸 多亚利 多毫不	
一一次小户师及内关师从下门,都是被任于地位了至时为中国办图。 中国大大大大大型,1000年,1000年,1000年,1000年,1000年,1000年,1000年,1000年,1000年,1000年,1000年,1000年	子虹, 工吅州, 不怀厄, 允退風, 处生生 (293)
李家河水库春季分层期 nirS 型反硝化菌群特征分析	子虹, 工咖啡, 木杯吧, 九垣風, 赵笙笙 (293)
日洋淀府河影响区几积物官养益和里金属污染符征及风险评价 除兴宏,李九龙江口红树林湿地表层沉积物中微塑料赋存特征与重金属的关系 刘倡君,北京市北运河水系底栖动物群落与水环境驱动因子的关系及水生态健康评价 城市河道再生水特征水质因子空间变异机制分析 苏州景观河道表层沉积物间隙水-上覆水中 DOM 特性分析 苏州城区雨水管道沉积物典型污染物分布特征 信号分子强化改性挂膜沸石持续抑制沉积物中氨氮释放 三峡水库调度对支流水体叶绿素 a 和环境因子垂向分布的影响 ··· 田盼,李亚莉,李莹杰,李家河水库春季分层期 nirS 型反硝化菌群特征分析 梁伟光,黄廷林,张海涵,杨尚业,刘	机文,李程遥,温成成,李伟涛,蔡晓春(306)
李家河水库春季分层期 nirS 型反硝化菌群特征分析	引致, 工品州, 不补吧, 气电風, 处星星(293) 凯文, 李程遥, 温成成, 李伟涛, 蔡晓春(306) 陈召莹, 张甜娜, 周石磊, 崔建升, 罗晓(314)
李家河水库春季分层期 nirS 型反硝化菌群特征分析 梁伟光,黄廷林,张海涵,杨尚业,刘岗南水库沉积物好氧反硝化菌群落时空分布特征 张紫薇,宁夏地区地下水金属元素分布特征及健康风险评价	# 五
李家河水库春季分层期 nirS 型反硝化菌群特征分析	# 1
李家河水库春季分层期 nirS 型反硝化菌群特征分析 深年光,黄廷林,张海涵,杨尚业,刘	引致, 工丽娟, 木杯吧, 北边風, 处星星(293) 凯文, 李程遥, 温成成, 李伟涛, 蔡晓春(306) 陈召莹, 张甜娜, 周石磊, 崔建升, 罗晓(314) 王晓东, 田伟, 张雪艳(329) ·吕晓立, 刘景涛, 韩占涛, 周冰, 李备(339)
岗南水库沉积物好氧反硝化菌群落时空分布特征 ····································	那久, 字住垣, 血成成, 字作两, 祭祝春(306) 陈召莹, 张甜娜, 周石磊, 崔建升, 罗晓(314) 王晓东, 田伟, 张雪艳(329) ·吕晓立, 刘景涛, 韩占涛, 周冰, 李备(339)
岗南水库沉积物好氧反硝化菌群落时空分布特征 ····································	那久, 字住垣, 血成成, 字作两, 祭祝春(306) 陈召莹, 张甜娜, 周石磊, 崔建升, 罗晓(314) 王晓东, 田伟, 张雪艳(329) ·吕晓立, 刘景涛, 韩占涛, 周冰, 李备(339)
岗南水库沉积物好氧反硝化菌群落时空分布特征 张紫薇, 宁夏地区地下水金属元素分布特征及健康风险评价 快速城镇化三角洲地区高碘地下水赋存特征及驱动因素:以珠江三角洲为例 长三角一体化示范区青浦区水环境中 22 种 PPCPs 的多介质分布特征及风险评估 张智博,段艳平, 洞庭湖及人湖河流中 209 种多氯联苯同类物分布特征与风险评估 黄	那人,字住垣, 血成成,字作两,祭阮春(306) 陈召莹,张甜娜,周石磊,崔建升,罗晓(314) 王晓东,田伟,张雪艳(329) ·吕晓立,刘景涛,韩占涛,周冰,李备(339)  沈嘉豪,俞文韬,罗鹏程,涂耀仁,高峻(349) 智峰,郑丙辉,尹大强,崔婷婷,赵兴茹(363)
岗南水库沉积物好氧反硝化菌群落时空分布特征 张紫薇, 宁夏地区地下水金属元素分布特征及健康风险评价 快速城镇化三角洲地区高碘地下水赋存特征及驱动因素:以珠江三角洲为例 长三角一体化示范区青浦区水环境中 22 种 PPCPs 的多介质分布特征及风险评估 张智博,段艳平,洞庭湖及人湖河流中 209 种多氯联苯同类物分布特征与风险评估 黄辈玉于流量和溶存浓度的河流水系氧化亚氮释放量估算 "李冰清,胡敏鹏,王铭烽,张育福	加入,字住垣, 血成成,字作两,祭阮春(306) 陈召莹,张甜娜,周石磊,崔建升,罗晓(314) 
岗南水库沉积物好氧反硝化菌群落时空分布特征 张紫薇, 宁夏地区地下水金属元素分布特征及健康风险评价 快速城镇化三角洲地区高碘地下水赋存特征及驱动因素:以珠江三角洲为例 长三角一体化示范区青浦区水环境中 22 种 PPCPs 的多介质分布特征及风险评估 张智博,段艳平,洞庭湖及人湖河流中 209 种多氯联苯同类物分布特征与风险评估 黄星于流量和溶存浓度的河流水系氧化亚氮释放量估算 "李冰清,胡敏鹏,王铭烽,张育福三峡库区万州段河流水-气界面 CO,通量支干流对比及影响机制初探	加入,字住垣, 血成成,字作两,祭呪督(306) 陈召莹,张甜娜,周石磊,崔建升,罗晓(314) 王晓东,田伟,张雪艳(329) ·吕晓立,刘景涛,韩占涛,周冰,李备(339) 
岗南水库沉积物好氧反硝化菌群落时空分布特征 张紫薇, 宁夏地区地下水金属元素分布特征及健康风险评价 快速城镇化三角洲地区高碘地下水赋存特征及驱动因素:以珠江三角洲为例 长三角一体化示范区青浦区水环境中 22 种 PPCPs 的多介质分布特征及风险评估 张智博, 段艳平, 洞庭湖及人湖河流中 209 种多氯联苯同类物分布特征与风险评估 紫智博, 段艳平, 菲是湖及人湖河流中 209 种多氯联苯同类物分布特征与风险评估 黄星 基于流量和溶存浓度的河流水系氧化亚氮释放量估算 "李冰清, 胡敏鹏, 王铭烽, 张育福三峡库区万州段野流水-气界面 CO。通量支干流对比及影响机制初探	那名堂,张甜娜,周石磊,崔建升,罗晓(314) 王晓东,田伟,张雪艳(329) · 吕晓立,刘景涛,韩占涛,周冰,李备(339) · 沈嘉豪,俞文韬,罗鹏程,涂耀仁,高峻(349) 智峰,郑丙辉,尹大强,崔婷婷,赵兴茹(363) ,吴昊,周侯,吴锴彬,戴之舟,陈丁延(369) 秦宇,欧阳常悦,王丽涛,方照(377)
岗南水库沉积物好氧反硝化菌群落时空分布特征 张紫薇, 宁夏地区地下水金属元素分布特征及健康风险评价 快速城镇化三角洲地区高碘地下水赋存特征及驱动因素:以珠江三角洲为例 长三角一体化示范区青浦区水环境中 22 种 PPCPs 的多介质分布特征及风险评估 张智博, 段艳平, 洞庭湖及人湖河流中 209 种多氯联苯同类物分布特征与风险评估 紫智博, 段艳平, 菲是湖及人湖河流中 209 种多氯联苯同类物分布特征与风险评估 黄星 基于流量和溶存浓度的河流水系氧化亚氮释放量估算 "李冰清, 胡敏鹏, 王铭烽, 张育福三峡库区万州段野流水-气界面 CO。通量支干流对比及影响机制初探	那名堂,张甜娜,周石磊,崔建升,罗晓(314) 王晓东,田伟,张雪艳(329) · 吕晓立,刘景涛,韩占涛,周冰,李备(339) · 沈嘉豪,俞文韬,罗鹏程,涂耀仁,高峻(349) 智峰,郑丙辉,尹大强,崔婷婷,赵兴茹(363) ,吴昊,周侯,吴锴彬,戴之舟,陈丁延(369) 秦宇,欧阳常悦,王丽涛,方照(377)
岗南水库沉积物好氧反硝化菌群落时空分布特征 张紫薇, 宁夏地区地下水金属元素分布特征及健康风险评价 快速城镇化三角洲地区高碘地下水赋存特征及驱动因素:以珠江三角洲为例 长三角一体化示范区青浦区水环境中 22 种 PPCPs 的多介质分布特征及风险评估 张智博, 段艳平, 洞庭湖及人湖河流中 209 种多氯联苯同类物分布特征与风险评估 紫智博, 段艳平, 菲是湖及人湖河流中 209 种多氯联苯同类物分布特征与风险评估 黄星 基于流量和溶存浓度的河流水系氧化亚氮释放量估算 "李冰清, 胡敏鹏, 王铭烽, 张育福三峡库区万州段野流水-气界面 CO。通量支干流对比及影响机制初探	那名堂,张甜娜,周石磊,崔建升,罗晓(314) 王晓东,田伟,张雪艳(329) · 吕晓立,刘景涛,韩占涛,周冰,李备(339) · 沈嘉豪,俞文韬,罗鹏程,涂耀仁,高峻(349) 智峰,郑丙辉,尹大强,崔婷婷,赵兴茹(363) ,吴昊,周侯,吴锴彬,戴之舟,陈丁延(369) 秦宇,欧阳常悦,王丽涛,方照(377)
岗南水库沉积物好氧反硝化菌群落时空分布特征 张紫薇, 宁夏地区地下水金属元素分布特征及健康风险评价 快速城镇化三角洲地区高碘地下水赋存特征及驱动因素:以珠江三角洲为例 长三角一体化示范区青浦区水环境中 22 种 PPCPs 的多介质分布特征及风险评估 张智博, 段艳平, 洞庭湖及人湖河流中 209 种多氯联苯同类物分布特征与风险评估 紫智博, 段艳平, 菲是湖及人湖河流中 209 种多氯联苯同类物分布特征与风险评估 黄星 基于流量和溶存浓度的河流水系氧化亚氮释放量估算 "李冰清, 胡敏鹏, 王铭烽, 张育福三峡库区万州段野流水-气界面 CO。通量支干流对比及影响机制初探	那名堂,张甜娜,周石磊,崔建升,罗晓(314) 王晓东,田伟,张雪艳(329) · 吕晓立,刘景涛,韩占涛,周冰,李备(339) · 沈嘉豪,俞文韬,罗鹏程,涂耀仁,高峻(349) 智峰,郑丙辉,尹大强,崔婷婷,赵兴茹(363) ,吴昊,周侯,吴锴彬,戴之舟,陈丁延(369) 秦宇,欧阳常悦,王丽涛,方照(377)
岗南水库沉积物好氧反硝化菌群落时空分布特征 张紫薇, 宁夏地区地下水金属元素分布特征及健康风险评价 快速城镇化三角洲地区高碘地下水赋存特征及驱动因素:以珠江三角洲为例 长三角一体化示范区青浦区水环境中 22 种 PPCPs 的多介质分布特征及风险评估 张智博, 段艳平, 洞庭湖及人湖河流中 209 种多氯联苯同类物分布特征与风险评估 紫智博, 段艳平, 菲是湖及人湖河流中 209 种多氯联苯同类物分布特征与风险评估 黄星 基于流量和溶存浓度的河流水系氧化亚氮释放量估算 "李冰清, 胡敏鹏, 王铭烽, 张育福三峡库区万州段野流水-气界面 CO。通量支干流对比及影响机制初探	那名堂,张甜娜,周石磊,崔建升,罗晓(314) 王晓东,田伟,张雪艳(329) · 吕晓立,刘景涛,韩占涛,周冰,李备(339) · 沈嘉豪,俞文韬,罗鹏程,涂耀仁,高峻(349) 智峰,郑丙辉,尹大强,崔婷婷,赵兴茹(363) ,吴昊,周侯,吴锴彬,戴之舟,陈丁延(369) 秦宇,欧阳常悦,王丽涛,方照(377)
常用光,更是外,形理湖,彻间里,对于宁夏地区地下水金属元素分布特征 医球病,写更地区地下水金属元素分布特征及健康风险评价 快速城镇化三角洲地区高碘地下水赋存特征及驱动因素:以珠江三角洲为例 长三角一体化示范区青浦区水环境中 22 种 PPCPs 的多介质分布特征及风险评估 张智博,段艳平,洞庭湖及人湖河流中 209 种多氯联苯同类物分布特征与风险评估 紫智博,段艳平,清庭湖及人湖河流中 209 种多氯联苯同类物分布特征与风险评估 黄基于流量和溶存浓度的河流水系氧化亚氮释放量估算 李冰清,胡敏鹏,王铭峰,张育福三峡库区万州段河流水。气界面 CO。通量支干流对比及影响机制初探 功能化凹凸棒吸附材料的制备及其对重金属废水中 Pb²***的吸附行为 廖钦氮共掺杂生物炭对二级水溶解性有机物的吸附特性与长效性评价 沸石悬浮填料生物移动床的亚硝化特性 温度对 ANAMMOX 污泥活性恢复的影响与菌群结构分析 埋料对 ANAMMOX 污泥活性恢复的影响与菌群结构分析 罗景文,杨津津,有是对,从中,他是不是不是它国公本是不是原因,但是是国民人,从中,是是国民人,是是国民人,是是国民人,是是国民人,是是国民人,是国民民人,是国民人,是国	那名堂,张础娜,周元磊,崔建升,罗晓(314) 王晓东,田伟,张雪艳(329) · 吕晓立,刘景涛,韩占涛,周冰,李备(339) 沈嘉豪,俞文韬,罗鹏程,涂耀仁,高峻(349) 雅峰,郑丙辉,尹大强,崔婷婷,陈丁江(369) 秦宇,欧阳常悦,王雨清,方鹏(377) 完峰,钟静萍,陈云嫩,瑶廷归,任嗣利(387) 完峰,钟静萍,陈云嫩,连晚军,陈振国(409) 又是晨曦,许路,塞秦,汪晓军,陈振国(409) 以来,其中,将军(416) 李绍康,赵州东,
常用光,更是外,形理湖,彻间里,对于宁夏地区地下水金属元素分布特征 医球病,写更地区地下水金属元素分布特征及健康风险评价 快速城镇化三角洲地区高碘地下水赋存特征及驱动因素:以珠江三角洲为例 长三角一体化示范区青浦区水环境中 22 种 PPCPs 的多介质分布特征及风险评估 张智博,段艳平,洞庭湖及人湖河流中 209 种多氯联苯同类物分布特征与风险评估 紫智博,段艳平,清庭湖及人湖河流中 209 种多氯联苯同类物分布特征与风险评估 黄基于流量和溶存浓度的河流水系氧化亚氮释放量估算 李冰清,胡敏鹏,王铭峰,张育福三峡库区万州段河流水。气界面 CO。通量支干流对比及影响机制初探 功能化凹凸棒吸附材料的制备及其对重金属废水中 Pb²***的吸附行为 廖钦氮共掺杂生物炭对二级水溶解性有机物的吸附特性与长效性评价 沸石悬浮填料生物移动床的亚硝化特性 温度对 ANAMMOX 污泥活性恢复的影响与菌群结构分析 埋料对 ANAMMOX 污泥活性恢复的影响与菌群结构分析 罗景文,杨津津,有是对,从中,他是不是不是它国公本是不是原因,但是是国民人,从中,是是国民人,是是国民人,是是国民人,是是国民人,是是国民人,是国民民人,是国民人,是国	那名堂,张础娜,周元磊,崔建升,罗晓(314) 王晓东,田伟,张雪艳(329) · 吕晓立,刘景涛,韩占涛,周冰,李备(339) 沈嘉豪,俞文韬,罗鹏程,涂耀仁,高峻(349) 雅峰,郑丙辉,尹大强,崔婷婷,陈丁江(369) 秦宇,欧阳常悦,王雨清,方鹏(377) 完峰,钟静萍,陈云嫩,瑶廷归,任嗣利(387) 完峰,钟静萍,陈云嫩,连晚军,陈振国(409) 又是晨曦,许路,塞秦,汪晓军,陈振国(409) 以来,其中,将军(416) 李绍康,赵州东,
常用光,更是外,形理湖,彻间里,对于宁夏地区地下水金属元素分布特征 医球病,写更地区地下水金属元素分布特征及健康风险评价 快速城镇化三角洲地区高碘地下水赋存特征及驱动因素:以珠江三角洲为例 长三角一体化示范区青浦区水环境中 22 种 PPCPs 的多介质分布特征及风险评估 张智博,段艳平,洞庭湖及人湖河流中 209 种多氯联苯同类物分布特征与风险评估 紫智博,段艳平,清庭湖及人湖河流中 209 种多氯联苯同类物分布特征与风险评估 黄基于流量和溶存浓度的河流水系氧化亚氮释放量估算 李冰清,胡敏鹏,王铭峰,张育福三峡库区万州段河流水。气界面 CO。通量支干流对比及影响机制初探 功能化凹凸棒吸附材料的制备及其对重金属废水中 Pb²***的吸附行为 廖钦氮共掺杂生物炭对二级水溶解性有机物的吸附特性与长效性评价 沸石悬浮填料生物移动床的亚硝化特性 温度对 ANAMMOX 污泥活性恢复的影响与菌群结构分析 埋料对 ANAMMOX 污泥活性恢复的影响与菌群结构分析 罗景文,杨津津,有是对,从中,他是不是不是它国公本是不是原因,但是是国民人,从中,是是国民人,是是国民人,是是国民人,是是国民人,是是国民人,是国民民人,是国民人,是国	那名堂,张础娜,周元磊,崔建升,罗晓(314) 王晓东,田伟,张雪艳(329) · 吕晓立,刘景涛,韩占涛,周冰,李备(339) 沈嘉豪,俞文韬,罗鹏程,涂耀仁,高峻(349) 雅峰,郑丙辉,尹大强,崔婷婷,陈丁江(369) 秦宇,欧阳常悦,王雨清,方鹏(377) 完峰,钟静萍,陈云嫩,瑶廷归,任嗣利(387) 完峰,钟静萍,陈云嫩,连晚军,陈振国(409) 又是晨曦,许路,塞秦,汪晓军,陈振国(409) 以来,其中,将军(416) 李绍康,赵州东,
常用光,更是外,形理湖,彻间里,对于宁夏地区地下水金属元素分布特征 医球病,写更地区地下水金属元素分布特征及健康风险评价 快速城镇化三角洲地区高碘地下水赋存特征及驱动因素:以珠江三角洲为例 长三角一体化示范区青浦区水环境中 22 种 PPCPs 的多介质分布特征及风险评估 张智博,段艳平,洞庭湖及人湖河流中 209 种多氯联苯同类物分布特征与风险评估 紫智博,段艳平,清庭湖及人湖河流中 209 种多氯联苯同类物分布特征与风险评估 黄基于流量和溶存浓度的河流水系氧化亚氮释放量估算 李冰清,胡敏鹏,王铭峰,张育福三峡库区万州段河流水。气界面 CO。通量支干流对比及影响机制初探 功能化凹凸棒吸附材料的制备及其对重金属废水中 Pb²***的吸附行为 廖钦氮共掺杂生物炭对二级水溶解性有机物的吸附特性与长效性评价 沸石悬浮填料生物移动床的亚硝化特性 温度对 ANAMMOX 污泥活性恢复的影响与菌群结构分析 埋料对 ANAMMOX 污泥活性恢复的影响与菌群结构分析 罗景文,杨津津,有是对,从中,他是不是不是它国公本是不是原因,但是是国民人,从中,是是国民人,是是国民人,是是国民人,是是国民人,是是国民人,是国民民人,是国民人,是国	那名堂,张础娜,周元磊,崔建升,罗晓(314) 王晓东,田伟,张雪艳(329) · 吕晓立,刘景涛,韩占涛,周冰,李备(339) 沈嘉豪,俞文韬,罗鹏程,涂耀仁,高峻(349) 雅峰,郑丙辉,尹大强,崔婷婷,陈丁江(369) 秦宇,欧阳常悦,王雨清,方鹏(377) 完峰,钟静萍,陈云嫩,瑶廷归,任嗣利(387) 完峰,钟静萍,陈云嫩,连晚军,陈振国(409) 又是晨曦,许路,塞秦,汪晓军,陈振国(409) 以来,其中,将军(416) 李绍康,赵州东,
常用光,更是外,形理湖,彻间里,对于宁夏地区地下水金属元素分布特征 医球病,写更地区地下水金属元素分布特征及健康风险评价 快速城镇化三角洲地区高碘地下水赋存特征及驱动因素:以珠江三角洲为例 长三角一体化示范区青浦区水环境中 22 种 PPCPs 的多介质分布特征及风险评估 张智博,段艳平,洞庭湖及人湖河流中 209 种多氯联苯同类物分布特征与风险评估 紫智博,段艳平,清庭湖及人湖河流中 209 种多氯联苯同类物分布特征与风险评估 黄基于流量和溶存浓度的河流水系氧化亚氮释放量估算 李冰清,胡敏鹏,王铭峰,张育福三峡库区万州段河流水。气界面 CO。通量支干流对比及影响机制初探 功能化凹凸棒吸附材料的制备及其对重金属废水中 Pb²***的吸附行为 廖钦氮共掺杂生物炭对二级水溶解性有机物的吸附特性与长效性评价 沸石悬浮填料生物移动床的亚硝化特性 温度对 ANAMMOX 污泥活性恢复的影响与菌群结构分析 埋料对 ANAMMOX 污泥活性恢复的影响与菌群结构分析 罗景文,杨津津,有是对,从中,他是不是不是它国公本是不是原因,但是是国民人,从中,是是国民人,是是国民人,是是国民人,是是国民人,是是国民人,是国民民人,是国民人,是国	那名堂,张础娜,周元磊,崔建升,罗晓(314) 王晓东,田伟,张雪艳(329) · 吕晓立,刘景涛,韩占涛,周冰,李备(339) 沈嘉豪,俞文韬,罗鹏程,涂耀仁,高峻(349) 雅峰,郑丙辉,尹大强,崔婷婷,陈丁江(369) 秦宇,欧阳常悦,王雨清,方鹏(377) 完峰,钟静萍,陈云嫩,瑶廷归,任嗣利(387) 完峰,钟静萍,陈云嫩,连晚军,陈振国(409) 又是晨曦,许路,塞秦,汪晓军,陈振国(409) 以来,其中,将军(416) 李绍康,赵州东,
常市元、東央州、	別、ス・学生、 (314) (314) (314) (314) (314) (314) (314) (314) (314) (314) (314) (314) (314) (314) (314) (314) (314) (314) (314) (314) (315) (315) (316) (316) (316) (316) (316) (316) (316) (316) (316) (316) (316) (316) (316) (316) (316) (316) (316) (316) (316) (316) (316) (316) (316) (316) (316) (316) (316) (316) (316) (316) (316) (316) (316) (316) (316) (316) (316) (316) (316) (316) (316) (316) (316) (316) (316) (316) (316) (316) (316) (316) (316) (316) (316) (316) (316) (316) (316) (316) (316) (316) (316) (316) (316) (316) (316) (316) (316) (316) (316) (316) (316) (316) (316) (316) (316) (316) (316) (316) (316) (316) (316) (316) (316) (316) (316) (316) (316) (316) (316) (316) (316) (316) (316) (316) (316) (316) (316) (316) (316) (316) (316) (316) (316) (316) (316) (316) (316) (316) (316) (316) (316) (316) (316) (316) (316) (316) (316) (316) (316) (316) (316) (316) (316) (316) (316) (316) (316) (316) (316) (316) (316) (316) (316) (316) (316) (316) (316) (316) (316) (316) (316) (316) (316) (316) (316) (316) (316) (316) (316) (316) (316) (316) (316) (316) (316) (316) (316) (316) (316) (316) (316) (316) (316) (316) (316) (316) (316) (316) (316) (316) (316) (316) (316) (316) (316) (316) (316) (316) (316) (316) (316) (316) (316) (316) (316) (316) (316) (316) (316) (316) (316) (316) (316) (316) (316) (316) (316) (316) (316) (316) (316) (316) (316) (316) (316) (316) (316) (316) (316) (316) (316) (316) (316) (316) (316) (316) (316) (316) (316) (316) (316) (316) (316) (316) (316) (316) (316) (316) (316) (316) (316) (316) (316) (316) (316) (316) (316) (316) (316) (316) (316) (316) (316) (316) (316) (316) (316) (316) (316) (316) (316) (316) (316) (316) (316) (316) (316) (316) (316) (316) (316) (316) (316) (316) (316) (316) (316) (316) (316) (316) (316) (316) (316) (316) (316) (316) (316) (316) (316) (316) (316) (316) (316) (316) (316) (316) (316) (316) (316) (316) (316) (316) (316) (316) (316) (316) (316) (316) (316) (316) (316) (316) (316) (316) (316) (316) (316) (316) (316) (316) (316) (316) (316) (316) (316) (316) (316) (3
以南水库沉积物好氧反硝化菌群落时空分布特征	別、不等。 一、一、一、一、一、一、一、一、一、一、一、一、一、一、一、一、一、一、一、
岗南水库沉积物好氧反硝化菌群落时空分布特征	別、不学生、 の、 の、 の、 の、 の、 の、 の、 の、 の、 の
常南水库沉积物好氧反硝化菌群落时空分布特征	別、 別、 別、 別、 所、 の、 の、 の、 の、 の、 の、 の、 の、 の、 の
常南水库沉积物好氧反硝化菌群落时空分布特征 张紫薇, 宁夏地区地下水金属元素分布特征及健康风险评价 快速城镇化三角洲地区高碘地下水赋存特征及驱动因素:以珠江三角洲为例 长三角一体化示范区青浦区水环境中 22 种 PPCPs 的多介质分布特征及风险评估 张智博, 段艳平, 洞庭湖及人湖河流中 209 种多氯联苯同类物分布特征与风险评估 张智博, 段艳平, 清庭湖及人湖河流中 209 种多氯联苯同类物分布特征与风险评估 张智博, 段艳平, 菏底,是不流量和溶存浓度的河流水系氧化亚氮释放量估算 李冰清, 胡敏鹏, 王铭峰, 张育福三峡库区万州段河流水。气界面 CO, 通量支干流对比及影响机制初探 功能化凹凸棒吸附材料的制备及其对重金属废水中 Pb²+ 的吸附行为 恢氮共掺杂生物炭对二级水溶解性有机物的吸附特性与长效性评价 沸石悬浮填料生物移动床的亚硝化特性 温度对 ANAMMOX 生物膜工艺的脱氮影响与菌群结构分析 填料对 ANAMMOX 生物膜工艺的脱氮影响与菌群结构分析 填料对 ANAMMOX 生物膜工艺的脱氮影响与菌群结构分析 填料对 ANAMMOX 污泥活性恢复的影响及菌群特征 罗景文, 杨津津, 基于 PMF 模型的宁南山区小流域土壤重金属空间分布及来源解析 夏子书, 白·浙中典型硫铁矿区农田土壤重金属含量特征及健康风险 成晓农产品视角的城郊黑土地农田重金属风险分区 吴基于 DGT 技术的广西碳酸盐岩区稻米镉含量主控因素 调理剂耦合水分管理对双季稻镉和铅累积的阻控效应 李林峰, 设施叶菜类蔬菜重金属镉、铅和砷累积特征及健康风险评价 董俊文,高培培, 电产垃圾拆解废渣-土壤-蔬菜中多氯联苯污染特征与健康风险评价 董俊文,高培培, 电子垃圾拆解废渣-土壤-蔬菜中多氯联苯污染特征与健康风险评估 张亚萍, 吕占禄, 雷州半岛南部典型农用地土壤-作物的有机氮农药残留特征和健康风险评价 黎晓晖, 青金属含量对城市土壤真荫群落结构的影响	別、 別、 別、 別、 所、 と 、 の、 の、 の、 の、 の、 の、 の、 の、 の、
常南水库沉积物好氧反硝化菌群落时空分布特征 张紫薇, 宁夏地区地下水金属元素分布特征及健康风险评价 快速城镇化三角洲地区高碘地下水赋存特征及驱动因素:以珠江三角洲为例 长三角一体化示范区青浦区水环境中 22 种 PPCPs 的多介质分布特征及风险评估 张智博, 段艳平, 洞庭湖及人湖河流中 209 种多氯联苯同类物分布特征与风险评估 张智博, 段艳平, 清庭湖及人湖河流中 209 种多氯联苯同类物分布特征与风险评估 张智博, 段艳平, 菏底,是不流量和溶存浓度的河流水系氧化亚氮释放量估算 李冰清, 胡敏鹏, 王铭峰, 张育福三峡库区万州段河流水。气界面 CO, 通量支干流对比及影响机制初探 功能化凹凸棒吸附材料的制备及其对重金属废水中 Pb²+ 的吸附行为 恢氮共掺杂生物炭对二级水溶解性有机物的吸附特性与长效性评价 沸石悬浮填料生物移动床的亚硝化特性 温度对 ANAMMOX 生物膜工艺的脱氮影响与菌群结构分析 填料对 ANAMMOX 生物膜工艺的脱氮影响与菌群结构分析 填料对 ANAMMOX 生物膜工艺的脱氮影响与菌群结构分析 填料对 ANAMMOX 污泥活性恢复的影响及菌群特征 罗景文, 杨津津, 基于 PMF 模型的宁南山区小流域土壤重金属空间分布及来源解析 夏子书, 白·浙中典型硫铁矿区农田土壤重金属含量特征及健康风险 成晓农产品视角的城郊黑土地农田重金属风险分区 吴基于 DGT 技术的广西碳酸盐岩区稻米镉含量主控因素 调理剂耦合水分管理对双季稻镉和铅累积的阻控效应 李林峰, 设施叶菜类蔬菜重金属镉、铅和砷累积特征及健康风险评价 董俊文,高培培, 电产垃圾拆解废渣-土壤-蔬菜中多氯联苯污染特征与健康风险评价 董俊文,高培培, 电子垃圾拆解废渣-土壤-蔬菜中多氯联苯污染特征与健康风险评估 张亚萍, 吕占禄, 雷州半岛南部典型农用地土壤-作物的有机氮农药残留特征和健康风险评价 黎晓晖, 青金属含量对城市土壤真荫群落结构的影响	別、 別、 別、 別、 所、 と 、 の、 の、 の、 の、 の、 の、 の、 の、 の、
常用水库沉积物好氧反硝化菌群落时空分布特征 张紫薇, 写地区地下水金属元素分布特征及健康风险评价 快速城镇化三角洲地区高碘地下水赋存特征及驱动因素:以珠江三角洲为例 长三角一体化示范区青浦区水环境中 22 种 PPCPs 的多介质分布特征及风险评估 张智博, 段艳平, 洞庭湖及人湖河流中 209 种多氯联苯同类物分布特征与风险评估 张智博, 段艳平, 黄星于流量和溶存浓度的河流水系氧化亚氮释放量估算 李冰清, 胡敏鹏, 王铭烽, 张育福三峡库区万州段河流水-气界面 CO。 通量支干流对比及影响机制初探功能化凹凸棒吸附材料的制备及其对重金属废水中 Pb²+ 的吸附行为 恢氮共掺杂生物炭对二级水溶解性有机物的吸附特性与长效性评价沸石悬浮填料生物移动床的亚硝化特性温度对 ANAMMOX 生物膜工艺的脱氮影响与菌群结构分析填料对 ANAMMOX 污泥活性恢复的影响及菌群特征 罗景文,杨津津,基于 PMF 模型的宁南山区小流域土壤重金属空间分布及来源解析 夏子书,白新中典型硫铁矿区农田土壤重金属含量特征及健康风险 成晓农产品视角的城郊黑土地农田重金属风险分区 吴墨于 DCT 技术的广西碳酸盐岩区稻米镉含量主控因素调理剂耦合水分管理对双季稻镉和铅累积的阻控效应 李林峰,设施叶菜类蔬菜重金属镉、铅和砷累积特征及健康风险评价 董俊文,高培培,设施叶菜类蔬菜重金属镉、铅和砷累积特征及健康风险评价 紫亚萍,吕占禄,皆一足垃圾拆解废渣-土壤蔬菜中多氯联苯污染特征与健康风险评价 紫亚萍,吕占禄,雷州半岛南部典型农用地土壤,作物的有机氯农药残留特征和健康风险评价 黎晓晖,潭金属含量对城市土壤真菌群落结构的影响 吴春晓,高小峰,闫	
常用水库沉积物好氧反硝化菌群落时空分布特征 张紫薇,写地区地下水金属元素分布特征及健康风险评价 快速城镇化三角洲地区高碘地下水赋存特征及驱动因素;以珠江三角洲为例 长三角一体化示范区青浦区水环境中 22 种 PPCPs 的多介质分布特征及风险评估 张智博,段艳平,洞庭湖及人湖河流中 209 种多氯联苯同类物分布特征与风险评估 张智博,段艳平,洞庭湖及人湖河流中 209 种多氯联苯同类物分布特征与风险评估 张智博,段艳平,洞庭湖及人湖河流水。气界面 CO2 通量支干流对比及影响机制初探功能化凹凸棒吸附材料的制备及其对重金属废水中 Pb² 的吸附行为 恢氮共掺杂生物炭对二级水溶解性有机物的吸附特性与长效性评价 沸石悬浮填料生物移动床的亚硝化特性温度对 ANAMMOX 污泥活性恢复的影响及菌群特征 罗景文,杨津津,基于 PMF 模型的宁南山区小流域土壤重金属空间分布及来源解析 夏子书,白斯中典型硫铁矿区农田土壤重金属含量种征及健康风险 成晓农产品视角的城郊黑土地农田重金属风险分区 吴老于 DCT 技术的广西碳酸盐岩区稻米累积的阻控效应 成晓农产品视角的城郊黑土地农田重金属风险分区 吴老于 DCT 技术的广西碳酸盐岩区稻米累积的阻控效应 泰林峰,设施叶菜类蔬菜重金属镉、铅和砷累积特征及健康风险评价 董俊文,高培培,电子垃圾拆解废渣土土壤。蔬菜中多氯联苯污染特征与健康风险评价 董俊文,高培培,电子垃圾拆解废渣土土壤。蔬菜中多氯联苯污染特征与健康风险评价 "秦晓晖,雪金属含量对城市土壤真菌群落结构的影响 吴春晓,高小峰,闫生地利用变化后不同种植年限香榧土壤微生物群落的组成及多样性 "秦霓夷,梁辰飞,	(306) (314) (314) (314) (314) (329) (349) (349) (349) (349) (349) (349) (349) (349) (349) (349) (349) (349) (349) (349) (369) (349) (369) (369) (377) (369) (377) (369) (377) (369) (377) (369) (377) (387) (387) (387) (387) (387) (387) (387) (387) (387) (387) (387) (387) (387) (387) (387) (387) (387) (387) (387) (387) (387) (387) (387) (387) (387) (387) (387) (387) (387) (387) (387) (387) (387) (387) (387) (387) (387) (387) (387) (387) (387) (387) (387) (387) (387) (387) (398) (398) (398) (398) (398) (398) (398) (398) (398) (398) (398) (398) (398) (398) (398) (398) (398) (398) (398) (398) (398) (398) (398) (398) (398) (398) (398) (409) (412) (424) (432) (432) (432) (432) (432) (432) (432) (432) (432) (432) (432) (432) (432) (432) (432) (432) (432) (432) (432) (432) (432) (432) (432) (432) (432) (432) (432) (432) (432) (432) (432) (432) (432) (432) (432) (432) (432) (432) (432) (432) (432) (432) (432) (432) (432) (432) (432) (432) (432) (432) (432) (432) (432) (432) (432) (432) (432) (432) (432) (432) (432) (432) (432) (432) (432) (432) (432) (432) (432) (432) (432) (432) (432) (432) (432) (432) (432) (432) (432) (432) (432) (432) (432) (432) (432) (432) (432) (432) (432) (432) (432) (432) (432) (432) (432) (432) (432) (432) (432) (432) (432) (432) (432) (432) (432) (432) (432) (432) (432) (432) (432) (432) (432) (432) (432) (432) (432) (432) (432) (432) (432) (432) (432) (432) (432) (432) (432) (432) (432) (432) (432) (432) (432) (432) (432) (432) (432) (432) (432) (432) (432) (432) (432) (432) (432) (432) (432) (432) (432) (432) (432) (432) (432) (432) (432) (432) (432) (432) (432) (432) (432) (432) (432) (432) (432) (432) (432) (432) (432) (432) (432) (432) (432) (432) (432) (432) (432) (432) (432) (432) (432) (432) (432)
常市水库沉积物好氧反硝化菌群落时空分布特征	(306) (314) (314) (314) (314) (329) (349) (349) (349) (349) (349) (349) (349) (349) (349) (349) (349) (361) (349) (361) (362) (363) (363) (363) (363) (364) (364) (364) (365) (367) (367) (369) (369) (377) (369) (377) (369) (387) (387) (387) (387) (387) (387) (387) (387) (387) (387) (387) (387) (387) (387) (387) (387) (387) (387) (387) (387) (387) (387) (387) (387) (387) (387) (387) (387) (387) (387) (387) (387) (387) (387) (387) (387) (387) (387) (398) (398) (398) (398) (398) (398) (409) (409) (412) (432) (432) (432) (432) (432) (432) (432) (442) (432) (432) (442) (432) (432) (442) (432) (442) (432) (442) (432) (442) (432) (442) (432) (442) (442) (442) (442) (442) (442) (442) (442) (442) (442) (442) (442) (442) (442) (442) (442) (442) (442) (442) (442) (442) (442) (442) (442) (442) (442) (442) (442) (442) (442) (442) (442) (442) (442) (442) (442) (442) (442) (442) (442) (442) (442) (442) (442) (442) (442) (442) (442) (442) (442) (442) (442) (442) (442) (442) (442) (442) (442) (442) (442) (442) (442) (442) (442) (442) (442) (442) (442) (442) (442) (442) (442) (442) (442) (442) (442) (442) (442) (442) (442) (442) (442) (442) (442) (442) (442) (442) (442) (442) (442) (442) (442) (442) (442) (442) (442) (442) (442) (442) (442) (442) (442) (442) (442) (442) (442) (442) (442) (442) (442) (442) (442) (442) (442) (442) (442) (442) (442) (442) (442) (442) (442) (442) (442) (442) (442) (442) (442) (442) (442) (442) (442) (442) (442) (442) (442) (442) (442) (442) (442) (442) (442) (442) (442) (442) (442) (442) (442) (442) (442) (442) (442) (442) (442) (442) (442) (442) (442) (442) (442) (442) (442) (442) (442) (442) (442) (442) (442) (442) (442) (442) (442) (442) (442) (442) (442) (442) (442) (442) (442) (442) (442) (442) (442) (442)
岗南水库沉积物好氧反硝化菌群落时空分布特征	別、 別、 別、 別、 の、 の、 の、 の、 の、 の、 の、 の、 の、 の
対京   大下   大下   大下   大下   大下   大下   大下   大	7. \$\frac{\sqrt{\sqrt{\sqrt{\sqrt{\sqrt{\sqrt{\sqrt{\sqrt{\sqrt{\sqrt{\sqrt{\sqrt{\sqrt{\sqrt{\sqrt{\sqrt{\sqrt{\sqrt{\sqrt{\sqrt{\sqrt{\sqrt{\sqrt{\sqrt{\sqrt{\sqrt{\sqrt{\sqrt{\sqrt{\sqrt{\sqrt{\sqrt{\sqrt{\sqrt{\sqrt{\sqrt{\sqrt{\sqrt{\sqrt{\sqrt{\sqrt{\sqrt{\sqrt{\sqrt{\sqrt{\sqrt{\sqrt{\sqrt{\sqrt{\sqrt{\sqrt{\sqrt{\sqrt{\sqrt{\sqrt{\sqrt{\sqrt{\sqrt{\sqrt{\sqrt{\sqrt{\sqrt{\sqrt{\sqrt{\sqrt{\sqrt{\sqrt{\sqrt{\sqrt{\sqrt{\sqrt{\sqrt{\sqrt{\sqrt{\sqrt{\sqrt{\sqrt{\sqrt{\sqrt{\sqrt{\sqrt{\sqrt{\sqrt{\sqrt{\sqrt{\sqrt{\sqrt{\sqrt{\sqrt{\sqrt{\sqrt{\sqrt{\sqrt{\sqrt{\sqrt{\sqrt{\sqrt{\sqrt{\sqrt{\sqrt{\sqrt{\sqrt{\sqrt{\sqrt{\sqrt{\sqrt{\sqrt{\sqrt{\sqrt{\sqrt{\sqrt{\sqrt{\sqrt{\sqrt{\sqrt{\sqrt{\sqrt{\sqrt{\sqrt{\sqrt{\sqrt{\sqrt{\sqrt{\sqrt{\sqrt{\sqrt{\sqrt{\sqrt{\sqrt{\sqrt{\sqrt{\sqrt{\sqrt{\sqrt{\sqrt{\sqrt{\sqrt{\sqrt{\sqrt{\sqrt{\sqrt{\sqrt{\sqrt{\sqrt{\sqrt{\sqrt{\sqrt{\sqrt{\sqrt{\sqrt{\sqrt{\sqrt{\sqrt{\sqrt{\sqrt{\sqrt{\sqrt{\sqrt{\sqrt{\sqrt{\sqrt{\sqrt{\sqrt{\sqrt{\sqrt{\sqrt{\sqrt{\sqrt{\sqrt{\sqrt{\sqrt{\sqrt{\sqrt{\sqrt{\sqrt{\sqrt{\sqrt{\sqrt{\sqrt{\sqrt{\sqrt{\sqrt{\sqrt{\sqrt{\sqrt{\sqrt{\sqrt{\sqrt{\sqrt{\sqrt{\sqrt{\sqrt{\sqrt{\sqrt{\sqrt{\sqrt{\sqrt{\sqrt{\sqrt{\sqrt{\sqrt{\sqrt{\sqrt{\sqrt{\sqrt{\sqrt{\sqrt{\sqrt{\sqrt{\sqrt{\sqrt{\sqrt{\sqrt{\sqrt{\sqrt{\sqrt{\sqrt{\sqrt{\sqrt{\sqrt{\sqrt{\sqrt{\sqrt{\sqrt{\sqrt{\sqrt{\sqrt{\sqrt{\sqrt{\sqrt{\sqrt{\sqrt{\sqrt{\sqrt{\sqrt{\sqrt{\sqrt{\sqrt{\sqrt{\sqrt{\sqrt{\sqrt{\sqrt{\sqrt{\sqrt{\sqrt{\sqrt{\sqrt{\sqrt{\sqrt{\sqrt{\sqrt{\sqrt{\sqrt{\sqrt{\sqrt{\sqrt{\sqrt{\sqrt{\sqrt{\sqrt{\sqrt{\sqrt{\sqrt{\sqrt{\sqrt{\sqrt{\sqrt{\sqrt{\sqrt{\sqrt{\sqrt{\sqrt{\sqrt{\sqrt{\sqrt{\sqrt{\sqrt{\sqrt{\sqrt{\sqrt{\sqrt{\sqrt{\sqrt{\sqrt{\sqrt{\sqrt{\sqrt{\sqrt{\sqrt{\sqrt{\sqrt{\sqrt{\sqrt{\sqrt{\sqrt{\sqrt{\sqrt{\sqrt{\sqrt{\sqrt{\sqrt{\sqrt{\sqrt{\sqrt{\sqrt{\sqrt{\sqrt{\sqrt{\sqrt{\sqrt{\sqrt{\sqrt{\sqrt{\sqrt{\sqrt{\sqrt{\sqrt{\sqrt{\sqrt{\sqrt{\sqrt{\sqrt{\sqrt{\sqrt{\sqrt{\sqrt{\sqrt{\si}\sqrt{\sqrt{\sqrt{\sqrt{\sqrt{\sqrt{\sqrt{\sqrt{\sqrt{\sq}\synt
岗南水库沉积物好氧反硝化菌群落时空分布特征	7. \$\frac{\text{300}}{\text{306}}\)  \$\frac{\text{314}}{\text{329}}\)  \$\frac{\text{314}}{\text{329}}\)  \$\frac{\text{329}}{\text{339}}\)  \$\frac{\text{349}}{\text{339}}\)  \$\frac{\text{349}}{\text{369}}\)  \$\frac{\text{349}}{\text{398}}\)  \$\frac{\text{349}}{\text{398}}\)  \$\frac{\text{349}}{\text{398}}\)  \$\frac{\text{349}}{\text{398}}\)  \$\frac{\text{349}}{\text{398}}\)  \$\frac{\text{349}}{\text{398}}\)  \$\frac{\text{349}}{\text{398}}\)  \$\frac{\text{398}}{\text{398}}\)  \$\
岗南水库沉积物好氧反硝化菌群落时空分布特征	7. \$\frac{\sqrt{\sqrt{\sqrt{\sqrt{\sqrt{\sqrt{\sqrt{\sqrt{\sqrt{\sqrt{\sqrt{\sqrt{\sqrt{\sqrt{\sqrt{\sqrt{\sqrt{\sqrt{\sqrt{\sqrt{\sqrt{\sqrt{\sqrt{\sqrt{\sqrt{\sqrt{\sqrt{\sqrt{\sqrt{\sqrt{\sqrt{\sqrt{\sqrt{\sqrt{\sqrt{\sqrt{\sqrt{\sqrt{\sqrt{\sqrt{\sqrt{\sqrt{\sqrt{\sqrt{\sqrt{\sqrt{\sqrt{\sqrt{\sqrt{\sqrt{\sqrt{\sqrt{\sqrt{\sqrt{\sqrt{\sqrt{\sqrt{\sqrt{\sqrt{\sqrt{\sqrt{\sqrt{\sqrt{\sqrt{\sqrt{\sqrt{\sqrt{\sqrt{\sqrt{\sqrt{\sqrt{\sqrt{\sqrt{\sqrt{\sqrt{\sqrt{\sqrt{\sqrt{\sqrt{\sqrt{\sqrt{\sqrt{\sqrt{\sqrt{\sqrt{\sqrt{\sqrt{\sqrt{\sqrt{\sqrt{\sqrt{\sqrt{\sqrt{\sqrt{\sqrt{\sqrt{\sqrt{\sqrt{\sqrt{\sqrt{\sqrt{\sqrt{\sqrt{\sqrt{\sqrt{\sqrt{\sqrt{\sqrt{\sqrt{\sqrt{\sqrt{\sqrt{\sqrt{\sqrt{\sqrt{\sqrt{\sqrt{\sqrt{\sqrt{\sqrt{\sqrt{\sqrt{\sqrt{\sqrt{\sqrt{\sqrt{\sqrt{\sqrt{\sqrt{\sqrt{\sqrt{\sqrt{\sqrt{\sqrt{\sqrt{\sqrt{\sqrt{\sqrt{\sqrt{\sqrt{\sqrt{\sqrt{\sqrt{\sqrt{\sqrt{\sqrt{\sqrt{\sqrt{\sqrt{\sqrt{\sqrt{\sqrt{\sqrt{\sqrt{\sqrt{\sqrt{\sqrt{\sqrt{\sqrt{\sqrt{\sqrt{\sqrt{\sqrt{\sqrt{\sqrt{\sqrt{\sqrt{\sqrt{\sqrt{\sqrt{\sqrt{\sqrt{\sqrt{\sqrt{\sqrt{\sqrt{\sqrt{\sqrt{\sqrt{\sqrt{\sqrt{\sqrt{\sqrt{\sqrt{\sqrt{\sqrt{\sqrt{\sqrt{\sqrt{\sqrt{\sqrt{\sqrt{\sqrt{\sqrt{\sqrt{\sqrt{\sqrt{\sqrt{\sqrt{\sqrt{\sqrt{\sqrt{\sqrt{\sqrt{\sqrt{\sqrt{\sqrt{\sqrt{\sqrt{\sqrt{\sqrt{\sqrt{\sqrt{\sqrt{\sqrt{\sqrt{\sqrt{\sqrt{\sqrt{\sqrt{\sqrt{\sqrt{\sqrt{\sqrt{\sqrt{\sqrt{\sqrt{\sqrt{\sqrt{\sqrt{\sqrt{\sqrt{\sqrt{\sqrt{\sqrt{\sqrt{\sqrt{\sqrt{\sqrt{\sqrt{\sqrt{\sqrt{\sqrt{\sqrt{\sqrt{\sqrt{\sqrt{\sqrt{\sqrt{\sqrt{\sqrt{\sqrt{\sqrt{\sqrt{\sqrt{\sqrt{\sqrt{\sqrt{\sqrt{\sqrt{\sqrt{\sqrt{\sqrt{\sqrt{\sqrt{\sqrt{\sqrt{\sqrt{\sqrt{\sqrt{\sqrt{\sqrt{\sqrt{\sqrt{\sqrt{\sqrt{\sqrt{\sqrt{\sqrt{\sqrt{\sqrt{\sqrt{\sqrt{\sqrt{\sqrt{\sqrt{\sqrt{\sqrt{\sqrt{\sqrt{\sqrt{\sqrt{\sqrt{\sqrt{\sqrt{\sqrt{\sqrt{\sqrt{\sqrt{\sqrt{\sqrt{\sqrt{\sqrt{\sqrt{\sqrt{\sqrt{\sqrt{\sqrt{\sqrt{\sqrt{\sqrt{\sqrt{\sqrt{\sqrt{\sqrt{\sqrt{\sqrt{\sqrt{\sqrt{\sqrt{\sqrt{\sqrt{\sqrt{\sqrt{\sqrt{\sqrt{\sqrt{\sqrt{\sint{\sq}\sqrt{\sqrt{\sqrt{\sqrt{\sqrt{\sq}\synt{\sq}\sqrt{\
岗南水库沉积物好氧反硝化菌群落时空分布特征 宁夏地区地下水金属元素分布特征及健康风险评价 快速城镇化三角洲地区高碘地下水赋存特征及驱动因素:以珠江三角洲为例 长三角一体化示范区青浦区水环境中 22 种 PPCPs 的多介质分布特征及风险评估 张 智博、段艳平,洞庭湖及人湖河流中 209 种多氯联苯同类物分布特征与风险评估 张 智博、段艳平,清庭湖及人湖河流中 209 种多氯联苯同类物分布特征与风险评估 张 智博、段艳平,清庭湖及人湖河流中 209 种多氯联苯同类物分布特征与风险评估 张 智博、段艳平,清庭湖及人湖河流中 209 种多氯联苯同类物分布特征与风险评估 张 智博、段艳平,黄湛、	7. \$\frac{\sqrt{\sqrt{\sqrt{\sqrt{\sqrt{\sqrt{\sqrt{\sqrt{\sqrt{\sqrt{\sqrt{\sqrt{\sqrt{\sqrt{\sqrt{\sqrt{\sqrt{\sqrt{\sqrt{\sqrt{\sqrt{\sqrt{\sqrt{\sqrt{\sqrt{\sqrt{\sqrt{\sqrt{\sqrt{\sqrt{\sqrt{\sqrt{\sqrt{\sqrt{\sqrt{\sqrt{\sqrt{\sqrt{\sqrt{\sqrt{\sqrt{\sqrt{\sqrt{\sqrt{\sqrt{\sqrt{\sqrt{\sqrt{\sqrt{\sqrt{\sqrt{\sqrt{\sqrt{\sqrt{\sqrt{\sqrt{\sqrt{\sqrt{\sqrt{\sqrt{\sqrt{\sqrt{\sqrt{\sqrt{\sqrt{\sqrt{\sqrt{\sqrt{\sqrt{\sqrt{\sqrt{\sqrt{\sqrt{\sqrt{\sqrt{\sqrt{\sqrt{\sqrt{\sqrt{\sqrt{\sqrt{\sqrt{\sqrt{\sqrt{\sqrt{\sqrt{\sqrt{\sqrt{\sqrt{\sqrt{\sqrt{\sqrt{\sqrt{\sqrt{\sqrt{\sqrt{\sqrt{\sqrt{\sqrt{\sqrt{\sqrt{\sqrt{\sqrt{\sqrt{\sqrt{\sqrt{\sqrt{\sqrt{\sqrt{\sqrt{\sqrt{\sqrt{\sqrt{\sqrt{\sqrt{\sqrt{\sqrt{\sqrt{\sqrt{\sqrt{\sqrt{\sqrt{\sqrt{\sqrt{\sqrt{\sqrt{\sqrt{\sqrt{\sqrt{\sqrt{\sqrt{\sqrt{\sqrt{\sqrt{\sqrt{\sqrt{\sqrt{\sqrt{\sqrt{\sqrt{\sqrt{\sqrt{\sqrt{\sqrt{\sqrt{\sqrt{\sqrt{\sqrt{\sqrt{\sqrt{\sqrt{\sqrt{\sqrt{\sqrt{\sqrt{\sqrt{\sqrt{\sqrt{\sqrt{\sqrt{\sqrt{\sqrt{\sqrt{\sqrt{\sqrt{\sqrt{\sqrt{\sqrt{\sqrt{\sqrt{\sqrt{\sqrt{\sqrt{\sqrt{\sqrt{\sqrt{\sqrt{\sqrt{\sqrt{\sqrt{\sqrt{\sqrt{\sqrt{\sqrt{\sqrt{\sqrt{\sqrt{\sqrt{\sqrt{\sqrt{\sqrt{\sqrt{\sqrt{\sqrt{\sqrt{\sqrt{\sqrt{\sqrt{\sqrt{\sqrt{\sqrt{\sqrt{\sqrt{\sqrt{\sqrt{\sqrt{\sqrt{\sqrt{\sqrt{\sqrt{\sqrt{\sqrt{\sqrt{\sqrt{\sqrt{\sqrt{\sqrt{\sqrt{\sqrt{\sqrt{\sqrt{\sqrt{\sqrt{\sqrt{\sqrt{\sqrt{\sqrt{\sqrt{\sqrt{\sqrt{\sqrt{\sqrt{\sqrt{\sqrt{\sqrt{\sqrt{\sqrt{\sqrt{\sqrt{\sqrt{\sqrt{\sqrt{\sqrt{\sqrt{\sqrt{\sqrt{\sqrt{\sqrt{\sqrt{\sqrt{\sqrt{\sqrt{\sqrt{\sqrt{\sqrt{\sqrt{\sqrt{\sqrt{\sqrt{\sqrt{\sqrt{\sqrt{\sqrt{\sqrt{\sqrt{\sqrt{\sqrt{\sqrt{\sqrt{\sqrt{\sqrt{\sqrt{\sqrt{\sqrt{\sqrt{\sqrt{\sqrt{\sqrt{\sqrt{\sqrt{\sqrt{\sqrt{\sqrt{\sqrt{\sqrt{\sqrt{\sqrt{\sqrt{\sqrt{\sqrt{\sqrt{\sqrt{\sqrt{\sqrt{\sqrt{\sqrt{\sqrt{\sqrt{\sqrt{\sqrt{\sqrt{\sqrt{\sqrt{\sqrt{\sqrt{\sqrt{\sqrt{\sqrt{\sqrt{\sqrt{\sqrt{\sqrt{\sqrt{\sqrt{\sqrt{\sqrt{\sqrt{\sqrt{\sqrt{\sqrt{\sqrt{\sqrt{\sqrt{\sqrt{\sqrt{\sqrt{\sqrt{\sqrt{\sint{\sq}\sqrt{\sqrt{\sqrt{\sqrt{\sqrt{\sq}\synt{\sq}\sqrt{\
岗南水库沉积物好氧反硝化菌群落时空分布特征	7. \$\frac{\sqrt{\sqrt{\sqrt{\sqrt{\sqrt{\sqrt{\sqrt{\sqrt{\sqrt{\sqrt{\sqrt{\sqrt{\sqrt{\sqrt{\sqrt{\sqrt{\sqrt{\sqrt{\sqrt{\sqrt{\sqrt{\sqrt{\sqrt{\sqrt{\sqrt{\sqrt{\sqrt{\sqrt{\sqrt{\sqrt{\sqrt{\sqrt{\sqrt{\sqrt{\sqrt{\sqrt{\sqrt{\sqrt{\sqrt{\sqrt{\sqrt{\sqrt{\sqrt{\sqrt{\sqrt{\sqrt{\sqrt{\sqrt{\sqrt{\sqrt{\sqrt{\sqrt{\sqrt{\sqrt{\sqrt{\sqrt{\sqrt{\sqrt{\sqrt{\sqrt{\sqrt{\sqrt{\sqrt{\sqrt{\sqrt{\sqrt{\sqrt{\sqrt{\sqrt{\sqrt{\sqrt{\sqrt{\sqrt{\sqrt{\sqrt{\sqrt{\sqrt{\sqrt{\sqrt{\sqrt{\sqrt{\sqrt{\sqrt{\sqrt{\sqrt{\sqrt{\sqrt{\sqrt{\sqrt{\sqrt{\sqrt{\sqrt{\sqrt{\sqrt{\sqrt{\sqrt{\sqrt{\sqrt{\sqrt{\sqrt{\sqrt{\sqrt{\sqrt{\sqrt{\sqrt{\sqrt{\sqrt{\sqrt{\sqrt{\sqrt{\sqrt{\sqrt{\sqrt{\sqrt{\sqrt{\sqrt{\sqrt{\sqrt{\sqrt{\sqrt{\sqrt{\sqrt{\sqrt{\sqrt{\sqrt{\sqrt{\sqrt{\sqrt{\sqrt{\sqrt{\sqrt{\sqrt{\sqrt{\sqrt{\sqrt{\sqrt{\sqrt{\sqrt{\sqrt{\sqrt{\sqrt{\sqrt{\sqrt{\sqrt{\sqrt{\sqrt{\sqrt{\sqrt{\sqrt{\sqrt{\sqrt{\sqrt{\sqrt{\sqrt{\sqrt{\sqrt{\sqrt{\sqrt{\sqrt{\sqrt{\sqrt{\sqrt{\sqrt{\sqrt{\sqrt{\sqrt{\sqrt{\sqrt{\sqrt{\sqrt{\sqrt{\sqrt{\sqrt{\sqrt{\sqrt{\sqrt{\sqrt{\sqrt{\sqrt{\sqrt{\sqrt{\sqrt{\sqrt{\sqrt{\sqrt{\sqrt{\sqrt{\sqrt{\sqrt{\sqrt{\sqrt{\sqrt{\sqrt{\sqrt{\sqrt{\sqrt{\sqrt{\sqrt{\sqrt{\sqrt{\sqrt{\sqrt{\sqrt{\sqrt{\sqrt{\sqrt{\sqrt{\sqrt{\sqrt{\sqrt{\sqrt{\sqrt{\sqrt{\sqrt{\sqrt{\sqrt{\sqrt{\sqrt{\sqrt{\sqrt{\sqrt{\sqrt{\sqrt{\sqrt{\sqrt{\sqrt{\sqrt{\sqrt{\sqrt{\sqrt{\sqrt{\sqrt{\sqrt{\sqrt{\sqrt{\sqrt{\sqrt{\sqrt{\sqrt{\sqrt{\sqrt{\sqrt{\sqrt{\sqrt{\sqrt{\sqrt{\sqrt{\sqrt{\sqrt{\sqrt{\sqrt{\sqrt{\sqrt{\sqrt{\sqrt{\sqrt{\sqrt{\sqrt{\sqrt{\sqrt{\sqrt{\sqrt{\sqrt{\sqrt{\sqrt{\sqrt{\sqrt{\sqrt{\sqrt{\sqrt{\sqrt{\sqrt{\sqrt{\sqrt{\sqrt{\sqrt{\sqrt{\sqrt{\sqrt{\sqrt{\sqrt{\sqrt{\sqrt{\sqrt{\sqrt{\sqrt{\sqrt{\sqrt{\sqrt{\sqrt{\sqrt{\sqrt{\sqrt{\sqrt{\sqrt{\sqrt{\sqrt{\sqrt{\sqrt{\sqrt{\sqrt{\sqrt{\sqrt{\sqrt{\sqrt{\sqrt{\sqrt{\sqrt{\sqrt{\sqrt{\sqrt{\sqrt{\sqrt{\sqrt{\sqrt{\sqrt{\sqrt{\sqrt{\sqrt{\sqrt{\sqrt{\sqrt{\sqrt{\sqrt{\sqrt{\sqrt{\sqrt{\sqrt{\sint{\sq}\sqrt{\sqrt{\sqrt{\sqrt{\sqrt{\sq}\synt{\sq}\sqrt{\



# 洞庭湖及入湖河流中 209 种多氯联苯同类物分布特征 与风险评估

黄智峰1,2,郑丙辉1,尹大强2,崔婷婷1,赵兴茹1\*

(1. 中国环境科学研究院国家环境保护洞庭湖科学观测研究站, 岳阳 414000; 2. 同济大学环境科学与工程学院, 上海 200092)

摘要:为全面了解洞庭湖水域多氯联苯(PCBs)的污染情况,采用同位素稀释-高分辨质谱法对洞庭湖及入湖河流共 21 处表层水进行了 209 种 PCB 同类物测定分析. 结果表明,共检出 50 种 PCB 同类物, $\rho$  ( $\sum$  PCBs) 在 0.077~10 ng·L<sup>-1</sup>之间,平均值为 2.7 ng·L<sup>-1</sup>,中值为 1.9 ng·L<sup>-1</sup>,污染浓度为:入湖河流 > 湖区 > 出口. 与国内外研究相比,洞庭湖水域 PCBs 污染处于较低水平. 表层水中主要污染物为二、三和四氯联苯,相对丰度分别为 67%、14%和 16%. PCB11、PCB17、PCB18、PCB20 + 33、PCB28、PCB47 + 75、PCB52 和 PCB68 分布最为广泛,在超过 80%的样品中均有检出. 其中, $\rho$  (PCB11)最高,平均值为 1.6 ng·L<sup>-1</sup>,占 $\rho$  ( $\sum$  PCBs)的 59%,来自于国产有机颜料生产过程中的无意排放. 大气传输沉降和历史残留是水中 PCBs 主要来源. 根据毒性当量因子法对研究区域生态毒性风险进行评估,结果显示水中 TEQ 远低于相关标准限值,表明洞庭湖及入湖河流表层水中 PCBs 污染不会对暴露生物体构成危害.

关键词:多氯联苯(PCBs);洞庭湖;污染特征;风险评估;高分辨质谱法

中图分类号: X52 文献标识码: A 文章编号: 0250-3301(2022)01-0363-06 DOI: 10.13227/j. hjkx. 202106061

# Distribution Characteristics and Risk Assessment of 209 Polychlorinated Biphenyls in Dongting Lake and the Inflow Rivers

HUANG Zhi-feng<sup>1,2</sup>, ZHENG Bing-hui<sup>1</sup>, YIN Da-qiang<sup>2</sup>, CUI Ting-ting<sup>1</sup>, ZHAO Xing-ru<sup>1\*</sup>

(1. State Environmental Protection Scientific Observation and Research Station for Lake Dongtinghu, Chinese Research Academy of Environmental Sciences, Yueyang 414000, China; 2. College of Environmental Science and Engineering, Tongji University, Shanghai 200092, China)

Abstract: In order to fully understand the pollution of polychlorinated biphenyls (PCBs) in Dongting Lake, 209 PCB congeners were quantitatively detected and analyzed by isotope-dilution high-resolution mass spectrometry in 21 surface water sampling sites of Dongting Lake and the inflow rivers of the lake. The results showed that a total of 50

PCB congeners were detected in the study area. The  $\rho\left(\begin{array}{c} \sum \text{PCBs} \end{array}\right)$  ranged from 0.077 to 10 ng·L $^{-1}$ , with an average concentration of 2.7 ng·L $^{-1}$  and a median

concentration of 1.9  $\rm ng \cdot L^{-1}$ . The order of contamination concentrations were as follows: the inflow rivers of the lake > lake region > outlet. Compared with the reports of domestic and foreign studies, PCB pollution in Dongting Lake is at a low level. The main pollutants in the surface water were dichlorobiphenyls and tri- and tetrachlorobiphenyls, with relative abundances of 67%, 14%, and 16%, respectively. PCB11, PCB17, PCB18, PCB20 + 33, PCB28, PCB47 + 75, PCB52, and PCB68 were the most widely distributed and detected in more than 80% of samples. Among them,  $\rho$  (PCB11) was the highest, with an average concentration of 1.6  $\rm ng \cdot L^{-1}$ ,

accounting for 59% of  $\rho$  (  $\sum$  PCBs ) , from the domestic organic pigment production process of unintentional emissions. Atmospheric transport deposition and historical

residue were the main sources of PCBs in water. According to the toxicity equivalent factor method, the ecological toxicity risk of the study area was evaluated, and the results showed that the TEQ in the water was far lower than the relevant standard limit, indicating that the pollution of PCBs in the surface water of Dongting Lake and the inflow rivers would not cause harm to exposed organisms.

Key words: polychlorinated biphenyls (PCBs); Dongting Lake; pollution characteristics; risk assessment; high-resolution mass spectrometry

多氯联苯(polychlorinated biphenyls, PCBs)是一类人工合成的氯代芳香族有机化合物,共有 209 种单体分子. PCBs 具有"三致效应",在生态系统中能够对水生生物体产生毒害,也能通过食物链累积与传递作用影响到高营养级生物体包括人类[1]. 尽管PCBs 已被禁止使用和生产超过 40 a,但由于 PCBs的高迁移性、持久性和难降解性,在各种环境介质中几乎无处不在,在大气、土壤、水、沉积物、动植物甚至人类母乳中均有检出报道[2~4]. 然而,受限于

仪器与检测方法,大多数研究是在低分辨率的 GC-MS 基础上进行的,难以排除其他化合物的干扰,存在假阳性或者漏测的问题,不能体现 PCBs 总浓度,环境中的 PCBs 污染水平及生态风险可能被低

收稿日期: 2021-06-07; 修订日期: 2021-06-16

基金项目: 科技基础性工作专项(2015FY110900-6); 中央级公益性 科研院所基本科研业务专项(2020-JY-009); 洞庭湖江湖 生态监测重点站项目(2020 年)

作者简介: 黄智峰(1993~),男,博士研究生,主要研究方向为持久性污染物的迁移转化,E-mail;1810329@tongji.edu.cn

性污染物的过移转化, E-mail: 1810329@ tongi. edu. cr

\* 通信作者,E-mail:zhaoxr@craes.org.cn

估[5,6]

洞庭湖位于湖南省北部,是我国第二大淡水湖. 湖区大致可分为东洞庭湖、南洞庭湖和西洞庭湖三 部分,南和西接湘、资、沅、澧四水及汨罗江等小支 流,由岳阳市城陵矶注入长江.作为长江流域重要的 调蓄湖泊和饮用水源地,保障洞庭湖水质和维护生 态系统健康具有重要意义. 近年来,已有研究关注了 洞庭湖中 PCBs 的残留情况. Wei 等[7]的研究在 2014年调查了东洞庭湖区水体中的7种指示性 PCBs(In-PCBs)单体,结果表明, ρ(PCBs)处于较低 水平(0.50~2.8 ng·L<sup>-1</sup>). 胡余明<sup>[8]</sup>的研究调查了 洞庭湖 13 种鱼类组织中 12 种二噁英类 PCBs (dl-PCBs),发现 PCB118 浓度最高,PCB126 毒性当量占 比最大. 然而,此前的研究只针对洞庭湖部分湖区或 者湖区内生物进行研究,且检测目标仅限于极少部 分 PCBs,对于洞庭湖全湖及入湖河流中全部 209 种 PCBs 的污染研究尚未见报道.

本文选取洞庭湖及入湖河流作为研究对象,采 用高分辨质谱仪对表层水中全部 209 种 PCB 同类 物进行检测分析,分析湖中 PCBs 的浓度水平与分 布特征,探讨其潜在来源,评估其毒性风险,以期为 洞庭湖有机污染防治与生态安全保障工作提供数据 支撑.

#### 材料与方法

#### 1.1 研究区域与样品采集

在洞庭湖湖区、入长江口及4条入湖河流布设 共 21 个采样点(图 1),包括东洞庭湖(S1~S5)、南 洞庭湖(S6~S11)、西洞庭湖(S12~S15)、湖区出 口(S16~S17)和入湖四水(S18~S21). 样品采集于 2018年9月,表层水样(0~50 cm)保存在1L棕色 玻璃瓶中,采集水样前加入 0.5 mL 甲醇,防止微生 物生长. 水样经玻璃纤维滤膜过滤去除悬浮颗粒物, 4℃冷藏保存待处理分析.

#### 1.2 实验试剂与仪器

主要仪器:高分辨气质联用仪(HRGC-HRMS, Agilent 6890-GC, Waters Micromass, Manchester, UK); 主要试剂:农残级正己烷(n-Hexane)、二氯甲 烷(Dichloromethane)、甲醇(Methanol)和丙酮 (Acetone) 购自 Fisher (Fair Lawn, NJ, USA) 和 Tedia (Fairfield, OH, USA). 标准溶液 EC-4977(13C 标记, 添加标)由 EC-4979(1℃标记,注射标)Cambridge 同 位素实验室(Andover, MA, USA)提供, 209 种 PCB 单体标准品购自美国 Accusatandard 公司.

#### 1.3 样品预处理与分析

采用固相萃取法对1L水样进行富集后,经旋

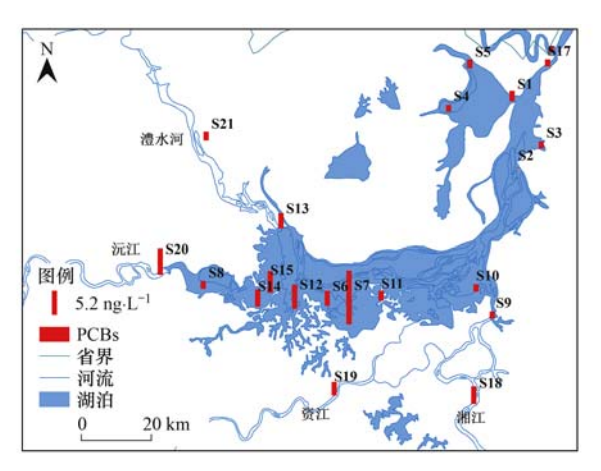


图 1 洞庭湖水域采样点分布示意

Fig. 1 Map of Dongting Lake area and sampling sites

转蒸发、氮吹浓缩至 20 µL. 样品通过同位素稀释-高分辨气相色谱-高分辨质谱法测定分析 PCBs 的组 成. 色谱柱 DB-5MS(60 m×250 μm×0.25 μm),仪 器分析条件详见文献[9].

#### 1.4 质量控制

分析样品前,进行精密度、回收率和实验室空 白实验,包括样品富集提取与仪器分析.在测样时进 行实验中精密度和回收率实验,每12个样品做一个 全过程空白. 本实验中 PCBs 检出限为 0.060~0.10 pg·L<sup>-1</sup>, 回收率为56%~80%, 精密度为7.0%~23%. 空白实验中的检出浓度低于样品的10%才有效.

#### 1.5 数据分析

对水中 PCBs 浓度之间进行关联分析, Pearson 相关性分析在 SPSS v22.0 (IBM Corp., Armonk, NY, USA)中完成,对分析结果进行热图绘制,其中 P < 0.05 表明具有显著相关性. 使用单因素方差分 析检测了不同区域 PCBs 浓度差异.

#### 2 结果与讨论

#### 2.1 PCBs 浓度水平与空间分布

PCBs 在洞庭湖水环境中普遍存在,各采样点均 有不同浓度检出. 水中总 PCBs ( \sum\_PCBs ) 和 In-PCBs 浓度水平如图 2 和表 1 所示. 水样中共有 50 种 PCBs 同系物检出,  $\rho$  ( $\sum$  PCBs) 在 0.077 ~ 10 ng·L-1之间,平均值为 2.7 ng·L-1,中值为 1.9 ng·L-1. 其中 S7 采样点浓度最高, S2 采样点浓度最 低. 总体上来看,洞庭湖流域水相环境中 PCBs 浓度 水平在西洞庭湖及入湖支流要高于东洞庭湖与南洞 庭湖, 在湖区出口处(入长江口)最低.  $\rho\left(\sum PCBs\right)$  呈现入湖支流[(3.2 ± 2.2) ng·L<sup>-1</sup>]

>湖区[(2.7 ± 2.4) ng·L<sup>-1</sup>]>湖区出口[(1.3 ±

0.085) ng·L<sup>-1</sup>]的趋势. 入湖河流中浓度相对较高,可能是由于入湖口水流流速较快,岸边土壤冲刷等作用携带了颗粒物吸附 PCBs 进入湖区,这与徐磊等<sup>[10]</sup>在太湖竺山湾的研究结论是一致的.

在所有检出的 PCB 同类物中,检出率高于 80%的 包括 PCB11、PCB17、PCB18、PCB20+33、PCB28、PCB47+75、PCB52 和 PCB68. 其中,检出率最高的是 PCB11(95%),且  $\rho$ (PCB11)最高,平均值为 1.6 ng·L<sup>-1</sup>.7种 In-PCBs 中有 5种检出,分别为PCB28、PCB52、PCB101、PCB118和 PCB153.  $\rho$ (In-PCBs)在 0.018~ 1.4 ng·L<sup>-1</sup>之间,仅占 $\rho$ ( $\sum$  PCBs)的 1.4%~13%(图 2),而 12种 dl-PCBs 中仅有 PCB118 检出,浓度范围在 ND~0.026 ng·L<sup>-1</sup>之间。因此,仅检测 In-PCBs 和 dl-PCBs 并不能全面反映水中 PCBs 的污染水平,PCBs 污染程度也受到一些其他单体的影响,这也表明在相关水域研究中可能低估了 PCBs 的总浓度.

表 2 汇总了国内外部分地区地表水环境中 PCBs 的检出情况. 与我国其他地区地表水中 PCBs 总检出浓度相比,本研究中 $\rho\left(\sum PCBs\right)$  (0.076~

 $10 \text{ ng} \cdot \text{L}^{-1}$ ) 与洪湖( $0.16 \sim 11 \text{ ng} \cdot \text{L}^{-1}$ ) 和东洞庭湖( $0.50 \sim 2.8 \text{ ng} \cdot \text{L}^{-1}$ ) 相当,明显低于淀山湖( $19 \sim 39 \text{ ng} \cdot \text{L}^{-1}$ ) 和白洋淀( $19 \sim 132 \text{ ng} \cdot \text{L}^{-1}$ ),但高于长江中段( $0.0020 \sim 0.16 \text{ ng} \cdot \text{L}^{-1}$ )、黄河( $0.64 \sim 2.3 \text{ ng} \cdot \text{L}^{-1}$ )和太湖( $\text{ND} \sim 1.0 \text{ ng} \cdot \text{L}^{-1}$ ). 与国外相关水域相比,洞庭湖 $\rho$ ( $\sum \text{PCBs}$ )较低,远低于美国密西比河( $22 \sim 163 \text{ ng} \cdot \text{L}^{-1}$ ),略低于意大利亚诺河

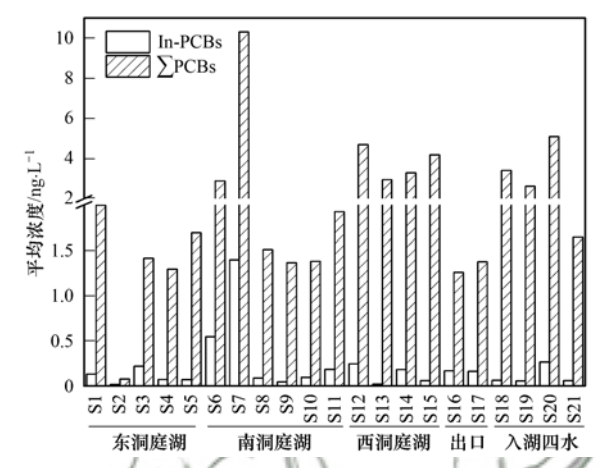


图 2 洞庭湖水域  $\sum PCBs$  与 In-PCBs 浓度分布

Fig. 2 Concentrations of  $\sum$  PCBs and In-PCBs

in the Dongting Lake areas

表 1 研究区域检出 PCB 单体及浓度分布 $^{1)}/{
m ng}\cdot {
m L}^{-1}$ 

Table 1 Distribution of PCB congeners detected and concentrations in the study area/ng·L<sup>-1</sup>

目标物	检出 PCBs 单体	浓度范围	均值
二氯联苯(Di-CBs)	PCB4、PCB5、PCB9 +7、PCB11 和 PCB15	ND ~4. 2	1. 7
三氯联苯(Tri-CBs)	PCB16、PCB17、PCB18、PCB19、PCB20+33、PCB22、PCB26、PCB28、PCB35 和 PCB37	ND $\sim 0.23$	0.38
四氯联苯(Tetra-CBs)	PCB40、PCB42、PCB44、PCB45、PCB46、PCB47 + 75、PCB49、PCB51、PCB52、PCB53、PCB60、PCB68、PCB70、PCB71、PCB74 和 PCB80	ND ~ 0. 55	0.60
五氯联苯(Penta-CBs)	PCB86、PCB87、PCB88、PCB99、PCB101、PCB110、PCB118 和 PCB121	ND $\sim 0.29$	0.040
六氯联苯(Hexa-CBs)	PCB139 和 PCB153	ND ~ 0. 094	0.0021
dl-PCBs	PCB118	ND $\sim 0.026$	0.0019
In-PCBs	PCB28、PCB52、PCB101、PCB118 和 PCB153	$0.018 \sim 1.4$	0. 20
$\sum PCBs$	_	0.077 ~ 10	0. 27

<sup>1)&</sup>quot;ND"表示低于检出限

表 2 洞庭湖与国内外部分地区地表水环境中 PCBs 浓度水平比较1)

Table 2 Comparison of PCBs concentration levels in the surface water environment between Dongting Lake and some areas at home and abroad

1			0 0			
研究对象	地区	采样年份	检测 PCB 数(检出数)	$\rho\left(\sum PCBs\right)/ng\cdot L^{-1}$	文献	
洞庭湖	中国	2018	209(50)	0.076 ~10	本研究	
太湖	中国	2012年6月	7(7)	ND ~ 1. 0	[11]	
淀山湖	中国	2015 ~ 2016	18(18)	19 ~ 39	[12]	
长江中段	中国	2010	12(12)	0. 002 0 ~ 0. 16	[ 13 ]	
白洋淀	中国	2008	41(39)	19 ~ 132	[ 14 ]	
洪湖	中国	2014	7(7)	0. 16 ~ 11	[7]	
东洞庭湖	中国	2014	7(7)	0. 50 ~ 2. 8	[7]	
黄河	中国	2008	7(7)	0. 64 ~ 2. 3	[ 15 ]	
Mississippi River	美国	2004	28(28)	22 ~ 163	[16]	
Sarno River	意大利	2008	32(32)	1. 4 ~ 25	[ 17 ]	
River Ravi	巴基斯坦	2015	209(35)	1. 9 ~ 12	[ 18 ]	
Selangor River	马来西亚	2009	44(44)	0. 13 ~ 7. 7	[ 19 ]	

(1.4~25 ng·L<sup>-1</sup>)和巴基斯坦拉维河(1.9~12 ng·L<sup>-1</sup>),与马来西亚雪兰莪州河(0.13~7.7 ng·L<sup>-1</sup>)相当. 值得一提的是,不同研究中所检测的目标 PCB 同类物数不同,且多数研究仅检测了几种至多几十种 PCBs,这会造成 PCBs 总浓度比较上的偏差. 本研究检测了全部 209 种同类物,但总体来说,洞庭湖水体中 PCBs 的浓度在国内外水域中仍处于较低水平.

#### 2.2 PCBs 组成与潜在来源分析

环境介质中 PCBs 同类物的组成通常能反映它 们在环境中的来源、迁移和归趋等信息[20]. 我国 PCBs 的生产和使用时间相较于国外尤其是发达国 家较晚,且历时较短(20世纪60年代开始生产使用 至 20 世纪 80 年代停产), PCBs 多用于电力容器和 润滑剂等. 但由于生产和使用量较大,造成管理难度 大. 洞庭湖是我国农工业重点发展区域, 历史遗留机 械设备如果处置不当会对环境产生威胁. 本研究中, 不同氯代 CBs 的浓度与相对丰度见表 1 和图 3. 从 中可知,洞庭湖水域表层水中 PCBs 以低氯代为主, 只有二~六氯代 CBs 检出. 二氯联苯(Di-CBs)浓度 最高(平均值 1.7 ng·L-1),在80%的样品中相对丰 度 > 50%. 其次是: 三氯联苯(Tri-CBs) > 五氯联苯 (Penta-CBs) > 四氯联苯(Tetra-CBs) > 六氯联苯 (Hexa-CBs). PCBs 类似的组成分布也在太湖[10]和 白洋淀[21]等研究中报道. 低氯代 CBs 在洞庭湖水环 境中为主,一方面是由于低氯代 CBs 的水溶性高于 高氯代 CBs,且具有较高的蒸气压,可以通过大气干 湿沉降进入湖泊中[22]. 另一方面,环境中某些微生 物多有 PCBs 的降解脱氯作用,使得高氯代 CBs 逐 渐转向低氯代 CBs[23]. 所有目标物中, PCB11 在检 出中浓度最高, PCB11 是一种典型的非商业化的 PCB 单体,在国产有机颜料生产过程中会无意排放

至大气,经大气传输在环境中远距离迁移<sup>[24,25]</sup>. 我国是世界上最大的有机颜料生产国,因此有机颜料生产所带来的大气中 PCBs 污染应当引起关注. 另外,Tri-CBs 浓度较高可能是源于该区域电容器和变压器等无意间的泄漏而产生的历史残留. Tri-CBs 中PCB52 占比最高,PCB52 是我国历史上生产的三氯联苯商业混合物(Aroclor1242)中的主要成分. 综上,洞庭湖水域 PCBs 主要来自于大气传输沉降及历史残留.

43 卷

此外,S7 点位 $\rho$ ( $\sum$ PCBs)(10 ng·L<sup>-1</sup>)显著高于其他采样点(图 2),经实地调查发现,S7 采样点位于村庄附近且周边无正在运营的工厂,因此高浓度的 PCBs 可能源自于居民日常生活中产生的电子垃圾排放以及变压器等的无意释放.

对洞庭湖水中PCBs进行Pearson相关性分析,

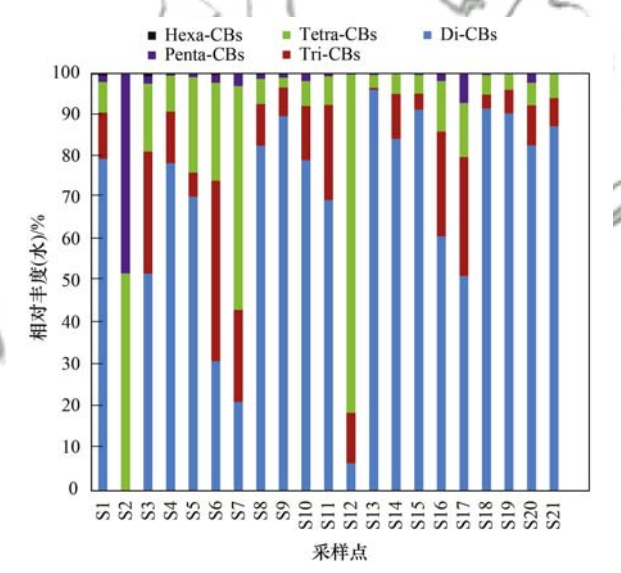
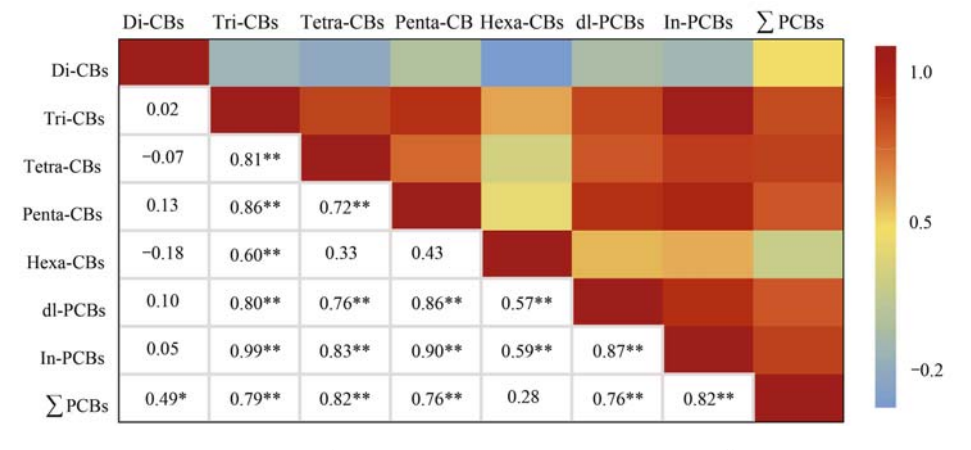


图 3 洞庭湖表层水中各氯代 PCBs 相对丰度

Fig. 3 Relative abundance of PCB homologs in the surface water of the Dongting Lake area



\*和\*\*分别表示在0.05和0.01水平(双尾)相关性显著

图 4 地表水中 PCBs 之间的相关性热图

Fig. 4 Heatmap of correlation of PCBs concentrations among surface water samples

分析结果见图 4. 水中 Tri-CBs 和 Tetra-CBs (R = 0.81, P < 0.01)、Penta-CBs(R = 0.86, P < 0.01)和 Hexa-CBs(R = 0.60, P < 0.01)之间,Tetra-CBs 和 Penta-CBs(R = 0.72, P < 0.01)之间均呈现出显著的正相关性,表明他们可能存在共同的来源. 此外,尽管水中 In-PCBs 和 dl-PCBs 浓度很低(图 2 和表 1),但水中  $\sum$  PCBs 与 In-PCBs(R = 0.82, P < 0.01)和 dl-PCBs(R = 0.76, P < 0.01)之间仍呈现出强正相关性,这和文献[6]的研究结果一致. 这种显著的强相关性表明当实验条件受限无法检测 209种 PCBs 时,可以考虑使用 In-PCBs 或 dl-PCBs 来估算样品中 PCBs 总浓度.

#### 2.3 风险评估

水源地的 PCBs 污染会影响供水安全与生态系统健康,考虑到 PCBs 的毒性和生物积累性,评价洞庭湖地区 PCBs 潜在的生态风险具有重要意义. 我国《地表水环境质量标准》(GB 3838-2002)和 US. EPA(美国环保署)规定 PCBs 在水中的浓度限值分别为 20 ng·L<sup>-1</sup>和14 ng·L<sup>-1</sup>,洞庭湖水体中 PCBs 的浓度(0.076~10 ng·L<sup>-1</sup>)远低于我国地表水环境质量标准与 EPA 限值. 因此,洞庭湖地区的地表水环境质量标准与 EPA 限值. 因此,洞庭湖地区的地表水环境质量受多氯联苯污染的影响较小,表明水生态系统中目前的 PCBs 浓度水平可能不会对生态系统健康产生不利影响.

进一步地,为了评估水样潜在的二噁英类毒性,使用毒性当量因子(toxic equivalent factors,TEFs)计算每个采样点 dl-PCBs 的毒性当量(toxic equivalency,TEQ). 计算公式为:

$$TEQ = c \times TEFs$$

式中, c 为 PCB 浓度, TEFs 取自世卫组织 2005 年修订的数值 [26]. 本研究洞庭湖水样中 dl-PCBs 的 TEQ 范围在 ND ~ 7. 8 × 10 <sup>-4</sup> pg·L <sup>-1</sup>, 平均值为 5. 8 × 10 <sup>-5</sup> pg·L <sup>-1</sup>, 均远低于日本环境质量标准 (1 pg·L <sup>-1</sup>) 及 美国 EPA 标准限值 (30 pg·L <sup>-1</sup>). 因此,洞庭湖水域中 PCBs 污染产生毒性很小,对水环境及水生生物几乎不产生危害.

#### 3 结论

- (1)首次对洞庭湖及入湖河流中的 209 种 PCBs 进行了全面调查. 共检出 50 种 PCB 同类物,  $\rho\left(\sum PCBs\right)$  在 0.076~10 ng·L<sup>-1</sup>之间,平均浓度呈现:入湖支流 > 湖区 > 湖区出口的趋势. 与国内外研究相比,洞庭湖水域 PCBs 污染处于较低水平.
- (2)研究区域表层水中的 PCBs 以低氯代为主, 尤 其 是 Di-CBs、 Tri-CBs 和 Tetra-CBs 居 多.

- $\rho(PCB11)$  最 高, 平 均 值 为 1.6  $ng \cdot L^{-1}$ , 占  $\rho\left(\sum PCBs\right)$  的 59%. PCBs 主要来自于大气传输 沉降和历史残留.
- (3)利用毒性当量因子法对研究区域生态毒性 风险进行评估,结果显示洞庭湖及入湖河流表层水 中 PCBs 污染不会对暴露生物体构成危害.

#### 参考文献:

- [1] Kobayashi J, Yoshimoto M, Yamada K, et al. Comparison of trophic magnification factors of PCBs and PBDEs in Tokyo Bay based on nitrogen isotope ratios in bulk nitrogen and amino acids [J]. Chemosphere, 2019, 226: 220-228.
- [2] 毛潇萱, 李子璇, 宋世杰, 等. 我国西北工业区城市大气多 氯联苯来源及健康风险[J]. 环境科学, 2020, 41(12): 5352-5361.
  - Mao X X, Li Z X, Song S J, et al. Sources and health risks of atmospheric polychlorinated biphenyls in an urban/industrial areas, Northwest China [J]. Environmental Science, 2020, 41 (12): 5352-5361.
- [3] Meng H J, Tang B, Zheng J, et al. Levels and sources of PBDEs and PCBs in human nails from e-waste, urban, and rural areas in South China[J]. Environmental Science: Processes & Impacts, 2020, 22(8): 1710-1717.
- [4] Naqvi A, Qadir A, Mahmood A, et al. Screening of human health risk to infants associated with the polychlorinated biphenyl (PCB) levels in human milk from Punjab Province, Pakistan
  [J]. Environmental Science and Pollution Research, 2020, 27 (7); 6837-6850.
- [5] Yang L L, Jin F, Liu G R, et al. Levels and characteristics of polychlorinated biphenyls in surface sediments of the Chaobai River, a source of drinking water for Beijing, China [J]. Ecotoxicology and Environmental Safety, 2020, 189, doi: 10. 1016/j. ecoenv. 2019. 109922.
- [6] Habibullah-Al-Mamun M, Ahmed M K, Islam M S, et al. Occurrence, distribution and possible sources of polychlorinated biphenyls (PCBs) in the surface water from the Bay of Bengal coast of Bangladesh [J]. Ecotoxicology and Environmental Safety, 2019, 167: 450-458.
- [7] Wei L F, Tadesse A W, Wang J. Organohalogenated contaminants (OHCs) in surface sediments and water of east Dongting Lake and Hong Lake, China [J]. Archives of Environmental Contamination and Toxicology, 2019, 76 (2): 157-170.
- [8] 胡余明. 洞庭湖鱼组织中持久性有机污染物的分析评估研究 [D]. 长沙: 湖南师范大学, 2013.
  Hu Y M. Study on the analysis and evaluation of POPs in fish from Dongting Lake [D]. Changsha: Hunan Normal University,
- [9] Zhao X R, Cui T T, Guo R, et al. A clean-up method for determination of multi-classes of persistent organic pollutants in sediment and biota samples with an aliquot sample[J]. Analytica Chimica Acta, 2019, 1047; 71-80.
- [10] 徐磊, 刘莎, 秦庆东, 等. 太湖竺山湾及入湖河流沉积物中 多氯联苯单体分布及源解析[J]. 中国环境科学, 2017, 37 (11): 4333-4341.
  - Xu L, Liu S, Qin Q D, et al. Distribution and source apportionment of polychlorinated biphenyl congeners in surface sediments from Zhushan Bay and the inflow rivers of Lake Taihu [J]. China Environmental Science, 2017, 37 (11): 4333-

4341.

- [11] 于英鹏, 刘敏. 太湖流域水源地多氯联苯分布特征与污染水平[J]. 生态毒理学报, 2018, **13**(1): 147-153.

  Yu Y P, Liu M. Distribution characteristics and pollution level of PCBs in water source area of Taihu River Basin [J]. Asian Journal of Ecotoxicology, 2018, **13**(1): 147-153.
- [12] 朱俊敏. 上海淀山湖典型持久性有机污染物(POPs)多介质迁移, 归趋及模拟研究[D]. 上海: 华东师范大学, 2017. Zhu J M. Multimedia migration, fate and simulation study of typical persistent organic pollutants (POPs) in Dianshan Lake of Shanghai [D]. Shanghai: East China Normal University, 2017.
- [13] Zhang Q, Gao L R, Zheng M H, et al. Polychlorinated dibenzop-dioxins (PCDDs) and dibenzofurans (PCDFs) and polychlorinated biphenyls (PCBs) in water samples from the middle reaches of the Yangtze River, China [J]. Bulletin of Environmental Contamination and Toxicology, 2014, 92 (5): 585-589.
- [14] Dai G H, Liu X H, Liang G, et al. Distribution of organochlorine pesticides (OCPs) and poly chlorinated biphenyls (PCBs) in surface water and sediments from Baiyangdian Lake in North China[J]. Journal of Environmental Sciences, 2011, 23 (10): 1640-1649.
- [15] 裴国霞, 张岩, 马太玲, 等. 黄河内蒙古段水体中六六六和 多氯联苯的分布特征[J]. 水资源与水工程学报, 2010, 21 (4): 25-27, 33. Pei G X, Zhang Y, Ma T L, et al. Distribution of HCHs and PCBs in water body of Inner Iongolia section of Yellow River[J]. Journal of Water Resources and Water Engineering, 2010, 21 (4): 25-27, 33.
- [16] Zhang S Y, Zhang Q, Darisaw S, et al. Simultaneous quantification of polycyclic aromatic hydrocarbons (PAHs), polychlorinated biphenyls (PCBs), and pharmaceuticals and personal care products (PPCPs) in Mississippi river water, in New Orleans, Louisiana, USA [J]. Chemosphere, 2007, 66 (6): 1057-1069.
- [17] Montuori P, Cirillo T, Fasano E, et al. Spatial distribution and partitioning of polychlorinated biphenyl and organochlorine pesticide in water and sediment from Sarno River and Estuary, southern Italy [J]. Environmental Science and Pollution Research, 2014, 21(7): 5023-5035.

- [18] Baqar M, Sadef Y, Ahmad S R, et al. Occurrence, ecological risk assessment, and spatio-temporal variation of polychlorinated biphenyls (PCBs) in water and sediments along River Ravi and its northern tributaries, Pakistan[J]. Environmental Science and Pollution Research, 2017, 24(36): 27913-27930.
- [19] Sakai N, Dayana E, Bakar A A, et al. Occurrence, distribution, and dechlorination of polychlorinated biphenyls and health risk assessment in Selangor River basin [J]. Environmental Monitoring and Assessment, 2016, 188 (10), doi: 10.1007/s10661-016-5595-6.
- [20] Li A, Rockne K J, Sturchio N, et al. PCBs in sediments of the great lakes-distribution and trends, homolog and chlorine patterns, and in situ degradation [J]. Environmental Pollution, 2009, 157(1): 141-147.
- [21] 许妍, 陈佳枫, 徐磊, 等. 白洋淀表层沉积物中有机氯农药和全多氯联苯的分布特征及风险评估[J]. 湖泊科学, 2020, 32(3): 654-664.

  Xu Y, Chen J F, Xu L, et al. Distribution and risk assessment of organochlorine pesticides and polychlorinated biphenyls in surficial sediments from Lake Baiyangdian[J], Journal of Lake
- [22] Men B, He M C, Tan L, et al. Distributions of polychlorinated biphenyls in the Daliao River estuary of Liaodong Bay, Bohai Sea (China) [J]. Marine Pollution Bulletin, 2014, 78 (1-2); 77-84.

Sciences, 2020, 32(3): 654-664.

- [23] Kjellerup B V, Paul P, Ghosh U, et al. Spatial distribution of PCB dechlorinating bacteria and activities in contaminated soil [J]. Applied and Environmental Soil Science, 2012, 2012: 584970.
- [24] Mao S D, Liu S R, Zhou Y T, et al. The occurrence and sources of polychlorinated biphenyls (PCBs) in agricultural soils across China with an emphasis on unintentionally produced PCBs [J]. Environmental Pollution, 2021, 271, doi: 10.1016/j. envpol. 2020.116171.
- [25] Basu I, Arnold K A, Venier M, et al. Partial pressures of PCB-11 in air from several Great Lakes sites [J]. Environmental Science & Technology, 2009, 43(17): 6488-6492.
- [26] Van Den Berg M, Birnbaum L S, Denison M, et al. The 2005 world health organization reevaluation of human and mammalian toxic equivalency factors for dioxins and dioxin-like compounds [J]. Toxicological Sciences, 2006, 93(2): 223-241.

# **HUANJING KEXUE**

Environmental Science (monthly)

Vol. 43 No. 1 Jan. 15, 2022

### **CONTENTS**

Characteristics and Risk Assessment of Heavy Metals in Urban Soils of Major Cities in China	PENG Chi, HE Ya-lei, GUO Zhao-hui, et al. ( 1 )
Environmental Behaviors of Plant Growth Regulators in Soil; A Review	CHEN Liang, HOU Jie, HU Xiao-lei, et al. (11)
Preparation and Application of Magnetic Water Treatment Materials Based on Iron Sludge  Meta-analysis of the Impact of Different Ozone Metrics on Total Mortality in China	RUAN Fang-fang, LIU Ji-xin, CHEN Zhi-wei, et al. (37)
Variation Characteristics and Detential Sources of the Mt. Heitus Acrosel Chamical Composition in Different Dellution Decessor Duni	na Winton in Politina China
Variation Characteristics and Fotential Sources of the Mt. Talmus Actosof Chemical Composition in Different Fortunion Processes Duri	ZHAO De-long, WANG Fei, LIU Dan-tong, et al. (46)
Real-time Source Apportionment of PM <sub>2,5</sub> and Potential Geographic Origins of Each Source During Winter in Wuhan  Spatiotemporal Distribution and Seasonal Characteristics of Regional Transport of PM <sub>2,5</sub> in Yuncheng City	WANG Yun-tao ZHANG Oiang WEN Xiao-yu et al. (74)
Three-dimensional Structure Variation of PM <sub>2-5</sub> During Cold Front Advance in Eastern China	MOU Nan-nan, ZHU Bin, LU Wen (85)
Pollution Characteristics and Rick Assessment of Nitrated Polyavolic Aramatic Hydrocarbons in the Atmosphere of Cuangdong Hong K	Cong-Magaa Creater Ray Area
Atmospheric VOCs Pollution Characteristics and Health Risk Assessment of Large-scale Integrated Industrial Area and Surrounding A	was in Southwest China
Characteristics and Source Apportionment of Ambient VOCs in Lhasa	LI Ling, ZHANG Dan, HU Wei, et al. (102)
Variation Characteristics of Ambient Volatile Organic Compounds (VOCs) Volume Fraction During Hangzhou COVID-19 Period	······ LIN Xu YAN Ren-chang IIN lia-iia et al. (123)
Role of Atmospheric VOCs in Ozone Formation in Summer in Shanghai Suburb	IIN Dan ( 132 )
Characteristics of VOCs and Formation Potentials of O <sub>3</sub> and SOA in Autumn and Winter in Tongchuan, China	········ YI Xiao-xiao, LI Jiang-hao, LI Guang-hua, et al. (140)
Emission Characteristics and Emission Factors of Volatile Organic Compounds from E-waste Dismantling and Recycling Processes  Nonlinear Response Relationship Between Ozone and Precursor Emissions in the Pearl River Delta Region Under Different Transmissi	···· Ale Dan-ping, HUANG Zhong-hui, LIU Wang, et al. (150)
	· WU Yong-kang, CHEN Wei-hua, YAN Feng-hua, et al. (160)
Characteristics of Ozone Pollution and Influencing Factors in Urban and Suburban Areas in Zibo	···· WANG Yu-van . YANG Wen . WANG Xiu-van . et al. (170)
Pollution Characteristics and Health Risk of Heavy Metals in Fugitive Dust Around Zhaotong City  Characteristics of Microplastic Present in Urban Road Dust	PANG Xiao-chen, HAN Xin-yu, SHI Jian-wu, et al. (180)
Stable Isotopes of Precipitation in the Eastern Tarim River Basin and Water Vapor Sources	SONG Yang WANG Sheng-jie ZHANG Ming-jun et al. (189)
Characteristics and Risk Assessment of Antibiotic Contamination in Chishui River Basin, Guizhou Province, China	WU Tian-vu, LI Jiang, YANG Ai-jiang, et al. (210)
Hydrochemical Characteristics and Controlling Factors of Surface Water and Groundwater in Wuding River Basin	LI Shu-jian, HAN Xiao, WANG Wen-hui, et al. (220)
Pollution Characteristics and Risk Assessment of Nutrients and Heavy Metals in Sediments of the Fuhe River Influenced Area, Baiyan	ngdian Lake
Occurrence Characteristics of Microplastics in Mangrove Sediments in the Jiulong River Estuary and the Association with Heavy Meta	dls LIU Chang-jun, LUO Zhuan-xi, YAN Yu, et al. (239)
Quantitative Analysis of the Correlation Retween Macrobenthos Community and Water Environmental Factors and Aquatic Ecosystem	Health Assessment in the North Canal River Rasin of Reijing
Analysis on the Spatial Variability Mechanism of the Characteristic Water Quality Factors of Urban River Channel Reclaimed Water	HU Xiao-hong, ZUO De-peng, LIU Bo, et al. (247)
DOM Characteristics Analysis of Surface Sediment-overlying Water in Suzhou Landscape River Course	LIU Quan-zhong, PENG Ke, SU Zhen-hua, et al. (200)
Distribution of Typical Pollutants from Rainwater Sewer Sediments in Suzhou City	···· YE Rong, SHENG Ming-jun, JIANG Yong-bo, et al. (277)
Persistent Inhibition of Ammonium Released from Contaminated Sediments Through a Modified Zeolite and Biofilm System Enhanced	by Signaling Molecules
Effects of the Three Gorges Reservoir Operation on Vertical Distribution of Chlorophyll a and Environmental Factors in Tributaries	
Characteristic Analysis of nurS Denitrifying Bacterial Community in Lijiahe Reservoir During Stratification	NG Wei-guang, HUANG Ting-lin, ZHANG Hai-han, et al. (306)
Spatial and Temporal Distribution of Aerobic Denitrification Bacterial Community in Sediments of Gangnan Reservoir	ZHANG Zi-wei, CHEN Zhao-ying, ZHANG Tian-na, et al. (314)
Distribution Characteristics and Health Risk Assessment of Metal Elements for Groundwater in the Ningxia Region of China	
	······ LÜ Xiao-li, LIU Jing-tao, HAN Zhan-tao, et al. (339)
Multimedia Distribution Characteristics and Rick Assessment of 22 PPCPs in the Water Environment of Oingru District Vangtze Riv	er Delta Demonstration Area
Built Communication Characteristics and the Austream of 22 in Graph in the Water Distribution Characteristics and the Austream of 22 in Graph in the Water Distribution Characteristics and the Austream of 22 in Graph in the Water Distribution Characteristics and the Austream of 22 in Graph in the Water Distribution Characteristics and the Austream of 22 in Graph in the Water Distribution Characteristics and the Austream of 22 in Graph in the Water Distribution Characteristics and the Austream of 22 in Graph in the Water Distribution Characteristics and the Austream of 22 in Graph in the Water Distribution Characteristics and the Austream of 22 in Graph in the Water Distribution Characteristics and the Austream of 22 in Graph in the Water Distribution Characteristics and the Austream of 22 in Graph in the Water Distribution Characteristics and the Austream of 22 in Graph in the Water Distribution Characteristics and the Austream of 22 in Graph in the Water Distribution Characteristics and the Austream of 22 in Graph in the Water Distribution Characteristics and the Austream of 22 in Graph in the Water Distribution Characteristics and the Austream of 22 in Graph in the Water Distribution Characteristics and the Austream of 22 in Graph in the Water Distribution Characteristics and the Austream of 22 in Graph in the Water Distribution Characteristics and the Austream of 22 in Graph in the Water Distribution Characteristics and the Austream of 22 in Graph in the Water Distribution Characteristics and the Austream of 22 in Graph in the Water Distribution Characteristics and the Austream of 22 in Graph in the Water Distribution Characteristics and Austream of 22 in Graph in the Water Distribution Characteristics and Austream of 22 in Graph in the Water Distribution Characteristics and Austream of 22 in Graph in the Water Distribution Characteristics and Austream of 22 in Graph in the Austream of 22 in Graph in the Water Distribution Characteristics and Austream of 22 in Graph in the Austream of 22 in Graph in the Austr	· ZHANG Zhi-bo, DUAN Yan-ping, SHEN Jia-hao, et al. (349)
Distribution Characteristics and Risk Assessment of 209 Polychlorinated Biphenyls in Dongting Lake and the Inflow Rivers Festimation of Nitrous Oxide Emission from River System Based on Water Discharge and Dissolved Nitrous Oxide Concentration	
Comparison Between Tributary and Main Stream and Preliminary Influence Mechanism of CO <sub>2</sub> Flux Across Water-air Interface in Wa	nzhou in the Three Gorges Reservoir Area
	·· QIN Yu, OUYANG Chang-yue, WANG Yu-xiao, et al. (377)
Preparation of Functional Attapulgite Composite and Its Adsorption Behaviors for Congo Red  Adsorption Characteristics and Long-term Effectiveness Evaluation of Iron-nitrogen Co-doped Biochar for Secondary Water-Soluble On	IAO Xiao-feng, ZHONG Jing-ping, CHEN Yun-nen, et al. (387)
Nitritation Performance of Zeolite Moving Bed Biofilm Reactor for Ammonium Wastewater Treatment	DENG Cui-lan, GUO Lu, WANG Xiao-jun, et al. (409)
Effect of Temporature on ANAMMOV Process in Sequencing Ratch Riefilm Reactors, Nitrogen Removal Performance and Reactorial C.	ommunity
Effects of Carriers on ANAMMOX Sludge Activity Recovery and Microbial Flora Characteristics	WU Shan, WANG Shu-ya, WANG Fen, et al. (416)
Spatial Distribution and Source Analysis of Soil Heavy Metals in a Small Watershed in the Mountainous Area of Southern Ningyia Ba	sed on PMF Model
Spatial Distribution and Source manysis of contractly section in a small material of in the should make the object of the same section in the should make the same section of the same sec	XIA Zi-shu, BAI Yi-ru, WANG You-qi, et al. (432)
Heavy Metal Concentration Characteristics and Health Risks of Farmland Soils in Typical Pyrite Mining Area of the Central Zhejiang	Province, China
Risk Zoning of Heavy Metals in a Peri-urban Area in the Black Soil Farmland Based on Agricultural Products	WIL Song-ze, WANC Dong-yen, IL Wen-bo, et al. (442)
Main Control Factors of Cadmium Content in Rice in Carbonate Rock Region of Guangxi Based on the DGT Technique	SONG Bo, XIAO Nai-chuan, MA Li-jun, et al. (463)
Inhibitory Effects of Soil Amendment Coupled with Water Management on the Accumulation of Cd and Pb in Double-Cropping Rice ·	······ LI Lin-feng, WANG Yan-hong, LI Yi-chun, et al. (472)
Characteristics and Health Risk Assessment of Cadmium, Lead, and Arsenic Accumulation in Leafy Vegetables Planted in a Greenho	ouse CAO D.: CIN H 4.1 (401)
Pollution Characteristics and Health Risk Assessment of Polychlorinated Biphenyls in E-waste Disposal Residue-Soil-Vegetable	
Soil-grap Distribution and Health Risk Assessment of Organochlorine Pesticides on Typical Agricultural Land in Southern Leizhou Per	nincula
Directly Distinution and Team task Assessment of Organization Testification Typical Agricultural Edition in Organization Testification Typical Agricultural Edition in Organization Testification Typical Agricultural Edition in Organization Testification T	LIANG Xiao-hui, XIE Qi-lai, ZHENG Qian, et al. (500)
Effects of Heavy Metal Content on Fungal Community Structure in Urban Soil  Effects of Long-term Fertilization on Soil Nutrient Characteristics and Microbial Resource Restrictions in a Terrace on the Loess Plate	GUO Da-lu, ZHANG Jian, SHEN Si, et al. (510)
Effects of Long-term remination on confident characteristics and incloudal resource restrictions in a refrace of the Locss Frace	· WU Chun-xiao, GAO Xiao-feng, YAN Ben-shuai, et al. (521)
Microbial Composition and Diversity in Soil of Torreya grandis cv. Merrillii Relative to Different Cultivation Years After Land Use Co	onversion
Effect of Combined Application of Biochar with Chemical Fertilizer and Organic Fertilizer on Soil Phosphatase Activity and Microbial	Community
Extracellular Enzyme Stoichiometry and Microbial Metabolism Limitation During Vegetation Restoration Process in the Middle of the	Oinling Mountains China
Effects of Riodegradable Film Raw Material Particles on Soil Properties. Wheat Growth, and Nutrient Absorption and Transportation	
Effects of Stalk Incorporation on Soil Carbon Sequestration, Nitrous Oxide Emissions, and Global Warming Potential of a Winter Wh	eat-Summer Maize Field in Guanzhong Plain
Effects of State incorporation on Son Canoni Sequestiation, virtuos Oxide Emissions, and Giobal waining Potential of a winter win	··· WAN Xiao-nan, ZHAO Ke-yue, WU Xiong-wei, et al. (569)